



**LE RÉSEAU DE CRÉATION  
ET D'ACCOMPAGNEMENT PÉDAGOGIQUES**

**Ce document a été mis en ligne par le Réseau Canopé  
pour la Base Nationale des Sujets d'Examens de l'enseignement professionnel.**

**Ce fichier numérique ne peut être reproduit, représenté, adapté ou traduit sans autorisation.**

**SESSION 2018**

**BREVET DE TECHNICIEN SUPÉRIEUR**

**CONCEPTION ET INDUSTRIALISATION EN  
MICROTECHNIQUES**

**ÉPREUVE E4**

**CONCEPTION PRÉLIMINAIRE D'UN SYSTÈME  
MICROTECHNIQUE**

Durée : 4 heures

Coefficient : 2

AUCUN DOCUMENT AUTORISÉ  
CALCULATRICE AUTORISÉE

Le sujet comporte 3 dossiers :

**Dossier Technique jaune (DT1 à DT23)**

**Travail Demandé vert (TD1 à TD10)**

**Documents Réponses blanc (DR1 à DR5)  
à rendre avec la copie**

*Les candidates ou les candidats rédigeront les réponses aux questions posées  
sur les documents réponses prévus à cet effet ou sur feuille de copie.*

**Tous les documents réponses même vierges sont à remettre en fin d'épreuve.**

BTS CIM – Épreuve E4 : Conception préliminaire d'un système microtechnique			Session 2018
Code de l'épreuve : 18-CDE4CP-ME1	Durée : 4 h	Coeff. : 2	Page de garde 1/1

# SESSION 2018

## BREVET DE TECHNICIEN SUPÉRIEUR

### CONCEPTION ET INDUSTRIALISATION EN MICROTECHNIQUES

#### ÉPREUVE E4

### CONCEPTION PRÉLIMINAIRE D'UN SYSTÈME MICROTECHNIQUE

#### STABILISATEUR POUR SMARTPHONE

#### DOSSIER TECHNIQUE

Ce dossier comporte 23 pages repérées DT1 à DT23.

- DT1 à DT4 :** présentation et extrait du cahier des charges fonctionnel d'un stabilisateur pour smartphone
- DT5 :** schéma cinématique
- DT6 :** dimensions et masses de smartphones
- DT7 :** solutions de serrage
- DT8 :** couple de serrage
- DT9 :** ergonomie
- DT10 :** accélération lors d'un travelling
- DT11 à DT12 :** description fonctionnelle de différents moteurs électriques
- DT13 à DT15 :** transistors N-MOS
- DT16 à DT18 :** transistors P-MOS
- DT19 à DT20 :** batterie d'accumulateurs et joysticks
- DT21 à DT22 :** résumé des spécifications du PIC 16F15356
- DT23 :** ADC du PIC 16F15356 et rotor (ou cloche) à découper

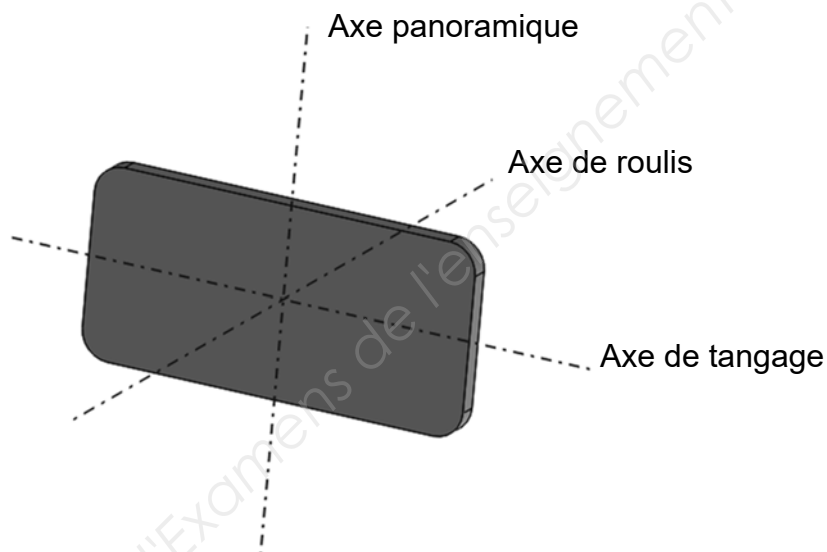
<i>BTS CIM – Épreuve E4 : Conception préliminaire d'un système microtechnique</i>		<i>Session 2018</i>	
<i>Code de l'épreuve : 18-CDE4CP-ME1</i>	<i>Durée : 4 heures</i>	<i>Coefficient : 2</i>	<i>DT0 / 10</i>

# PRÉSENTATION

Un stabilisateur pour smartphone est un système qui permet de compenser les mouvements de l'utilisatrice ou de l'utilisateur. Les vidéos ainsi prises sont plus fluides. De plus, il permet de filmer en suivant l'évolution d'un sujet (mode tracking) ou de garder le smartphone dans une direction lorsque l'utilisatrice ou l'utilisateur bouge.

Le système que l'on veut développer est un modèle trois axes (voir schéma ci-dessous). Pour que l'appareil soit performant, il faut que l'équilibrage autour des trois axes soit le plus précis possible. En effet cela limitera la puissance des moteurs et donc le prix, l'encombrement et le poids pour une performance égale.

Notre étude consistera à réaliser cet équilibrage et à choisir la motorisation.



## EXTRAIT DU CAHIER DES CHARGES FONCTIONNEL D'UN STABILISATEUR POUR SMARTPHONE

### Expression du besoin

#### FONCTION GLOBALE : *définition du besoin*

##### À qui sert le produit ?

À une utilisatrice ou un utilisateur désirant réaliser des vidéos de bonne qualité à l'aide de son smartphone.

##### Sur quoi agit-il ?

Sur le smartphone.

##### Pourquoi (dans quel but) ?

Pour permettre à une utilisatrice ou un utilisateur de réaliser des vidéos en atténuant les mouvements parasites.

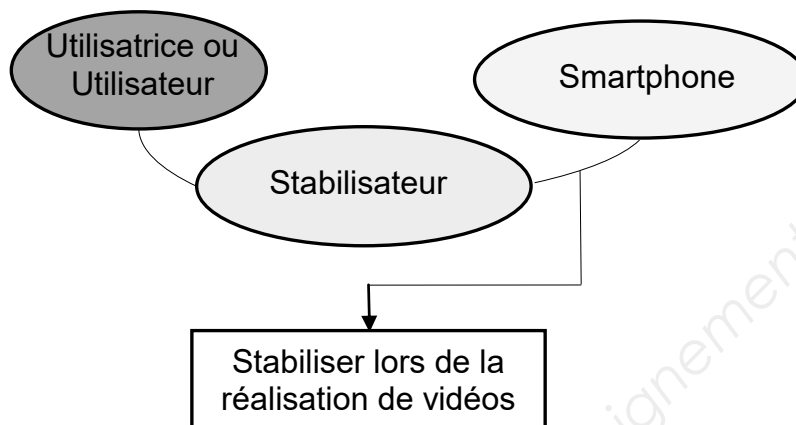
##### Fonction globale :

**Stabiliser un smartphone dans le but de réaliser des vidéos de bonne qualité.**

BTS CIM – Épreuve E4 : Conception préliminaire d'un système microtechnique		Session 2018	
Code de l'épreuve : 18-CDE4CP-ME1	Durée : 4 heures	Coefficient : 2	DT1 / 23

# EXTRAIT DU CAHIER DES CHARGES FONCTIONNEL (suite)

Diagramme niveau 1 : fonction globale (*bête à corne*)



## Pourquoi le besoin existe-t-il ?

Beaucoup d'utilisatrices ou d'utilisateurs de smartphone l'utilisent pour réaliser des vidéos. Mais de part la préhension de celui-ci, cela induit des mouvements parasites qui nuisent à la qualité de l'image. Le stabilisateur, maniable et compact, permet de remédier à ce problème. De plus, il permet de filmer en suivant l'évolution d'un sujet (mode tracking).

## Qu'est-ce qui pourrait le faire évoluer ou le faire disparaître ?

Disparition des smartphones.

Intégration de ces fonctions dans le smartphone.

## Quel est le risque d'évolution du besoin et de disparition ?

Vu leur essor, les smartphones ne sont pas près de disparaître.

Certains nouveaux smartphones possèdent des stabilisateurs très performants mais il n'est pas possible de faire un suivi de sujet.

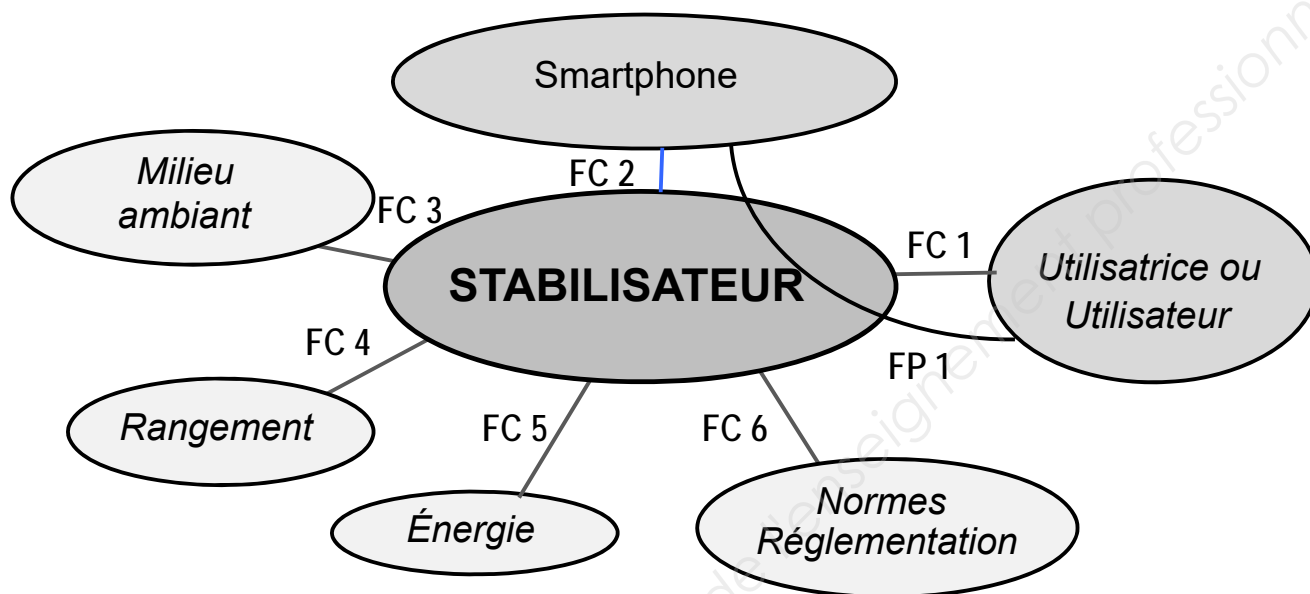
Les risques d'évolution et de disparition restent à court terme relativement faibles.

→ Dans sa forme actuelle, le besoin est validé.

## EXTRAIT DU CAHIER DES CHARGES FONCTIONNEL (suite)

### Milieu environnant, fonctions principales, complémentaires et contraintes

Diagramme pieuvre



#### Fonction principale :

**FP 1 :** permettre à l'utilisatrice ou à l'utilisateur de réaliser des vidéos de bonne qualité sur le smartphone.

#### Fonctions complémentaires et contraintes :

**FC 1 :** permettre une bonne prise en main.

**FC 2 :** s'adapter à n'importe quel smartphone.

**FC 3 :** s'adapter au milieu ambiant (humidité, poussière,...).

**FC 4 :** être facilement transportable une fois rangé.

**FC 5 :** être alimenté avec une source d'énergie autonome, intégrée au système.

**FC 6 :** respecter les normes et la réglementation des produits grand public.

# EXTRAIT DU CAHIER DES CHARGES FONCTIONNEL (suite)

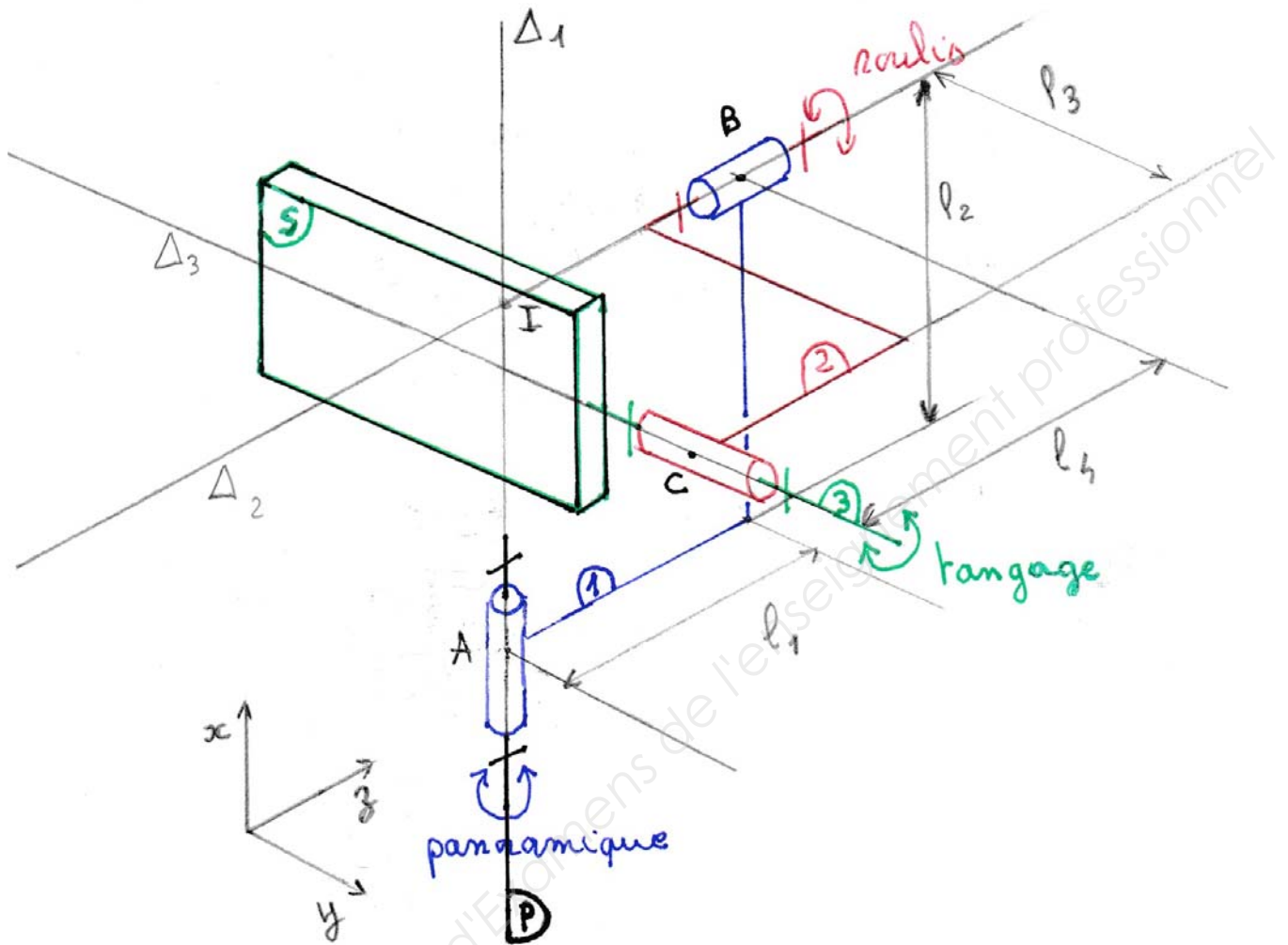
## Tableau de caractérisation des fonctions

Fonctions	Critères	Niveaux	Flexibilité
<b>FP 1</b> Permettre à l'utilisatrice ou à l'utilisateur de réaliser des vidéos de bonne qualité sur le smartphone.	Plage angulaire de vibration	$\pm 0.03^\circ$	F1
	Contrôle des positions : - panoramique - roulis - tangage - précision angulaire	$\pm 150^\circ$ $\pm 25^\circ$ - $125^\circ$ à $+35^\circ$ $\leq 2^\circ$	F2 F2 F2 F0
	Vitesse contrôlable max	120°/s	F2
	Connexion entre le smartphone et le stabilisateur	Bluetooth.	F0
<b>FC 1</b> Permettre une bonne prise en main	Ergonomique	Forme usuelle adaptable à la préhension humaine	F0
	Poids	< 500g	F2
<b>FC 2</b> S'adapter à n'importe quel smartphone	Largeur	Entre 58,6 et 84,8 mm	F0
<b>FC 3</b> S'adapter au milieu ambiant	Température	Entre $0^\circ$ et $40^\circ$	F1
	Humidité	100%	F1
	Lumière UV	Minimum 10 ans	F1
	Choc	chute d'un mètre	F1
<b>FC 4</b> Etre facilement transportable une fois rangé	Encombrement replié	< 300×120×50	F2
<b>FC 5</b> Être alimenté avec une source d'énergie autonome, intégrée au système	Batterie : - tension de charge - autonomie	5 Volts $\geq 2$ h	F0 F3
<b>FC 6</b> Respecter les normes et la réglementation des produits grand public	Marquage Directive européenne	CE RoHS	F0

### CRITÈRES DE FLEXIBILITÉ :

**F0 = non négociable    F1 = légèrement négociable    F2 = très peu négociable**  
**F3 = négociable    F4 = assez négociable    F5 = très négociable**

# SCHÉMA CINÉMATIQUE



- S : smartphone  
 1 : bras 1  
 2 : bras 2  
 3 : bras 3  
 P : poignée du stabilisateur

Conditions d'équilibrage :

- $G_{3S}$ , centre de gravité de l'ensemble  $\{3,S\}$ , doit appartenir à  $\Delta_3$ .
- $G_{23S}$ , centre de gravité de l'ensemble  $\{2,3,S\}$ , doit appartenir à  $\Delta_2$ .
- $G_{123S}$ , centre de gravité de l'ensemble  $\{1,2,3,S\}$ , doit appartenir à  $\Delta_1$ .



## DIMENSIONS ET MASSES DE SMARTPHONES EN USAGE ACTUELLEMENT



**SONY XPERIA XZ PREMIUM**  
156 × 77 × 7.9 (mm)  
195 g



**APPLE IPHONE 6S**  
138.3 × 67.1 × 7.1 (mm)  
143 g



**LG V10**  
159.6 × 79.3 × 8.6 (mm)  
192 g



**HTC U ULTRA**  
162.4 × 79.8 × 8 (mm)  
170 g



**SAMSUNG GALAXY NOTE 5**  
153.2 × 76.1 × 7.6 (mm)  
171 g

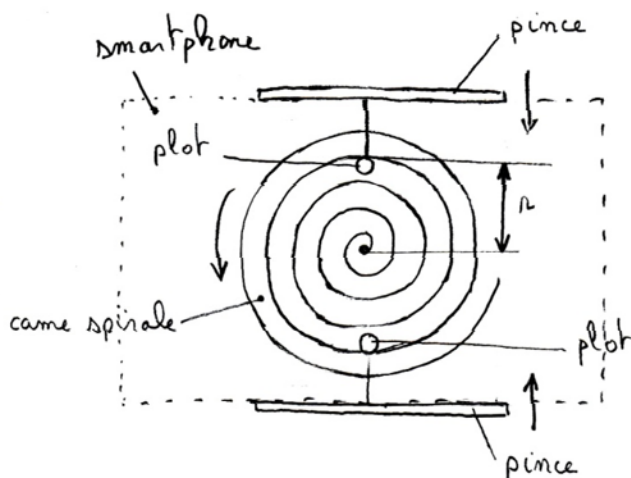


**APPLE IPHONE 5S**  
123.8 × 58.6 × 7.6 (mm)  
112 g

<i>BTS CIM – Épreuve E4 : Conception préliminaire d'un système microtechnique</i>			<i>Session 2018</i>
<i>Code de l'épreuve : 18-CDE4CP-ME1</i>	<i>Durée : 4 heures</i>	<i>Coefficient : 2</i>	<b>DT6 / 23</b>

# SOLUTIONS DE SERRAGE

## Par came en forme de spirale :



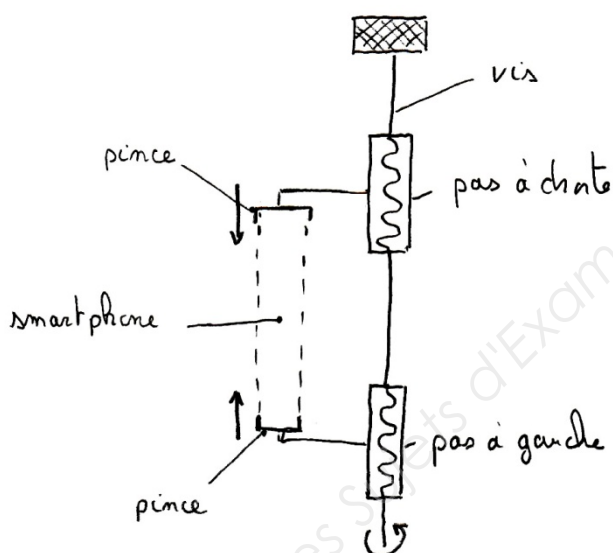
La came spirale a un mouvement de rotation par rapport à son axe central. Elle entraîne les pinces, qui ont un mouvement de translation, par le biais des plots.

Pas de la spirale :  $p_{\text{spirale}} = 4 \text{ mm}$  (pour des raisons d'encombrement et de fabrication)

Pour un tour de la came spirale, les pinces se rapprochent de  $2 p_{\text{spirale}}$ .

Système irréversible (on ne peut pas déplacer les pinces sans agir sur la came spirale)

## Par 2 liaisons hélicoïdales avec des pas inversés :



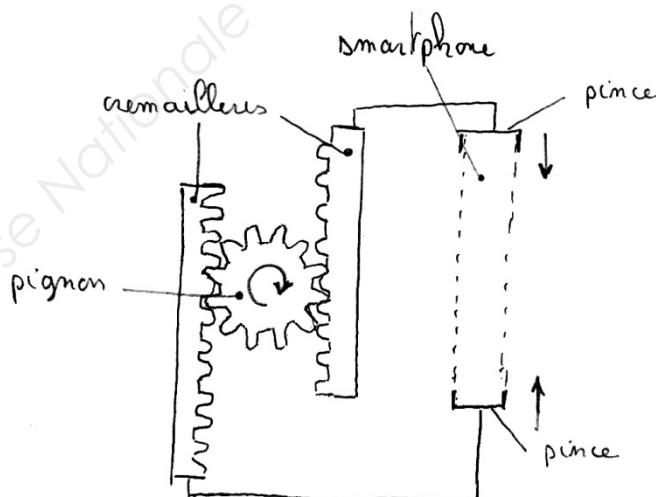
La vis a un mouvement de rotation par rapport à son axe. Elle entraîne les pinces, qui ont un mouvement de translation, par le biais des liaisons hélicoïdales.

Pas de la vis :  $p_{\text{vis}} = 0.8 \text{ mm}$  (correspond à une vis de diamètre 5 mm choisie pour des raisons d'encombrement et de fabrication)

Pour un tour de la vis de serrage, les pinces se rapprochent de :  $2 p_{\text{vis}}$

Système irréversible (on ne peut pas déplacer les pinces sans agir sur la vis de serrage)

## Par 2 crémaillères :



Le pignon a un mouvement de rotation par rapport à son axe. Il entraîne les pinces, qui ont un mouvement de translation, par le biais des crémaillères.

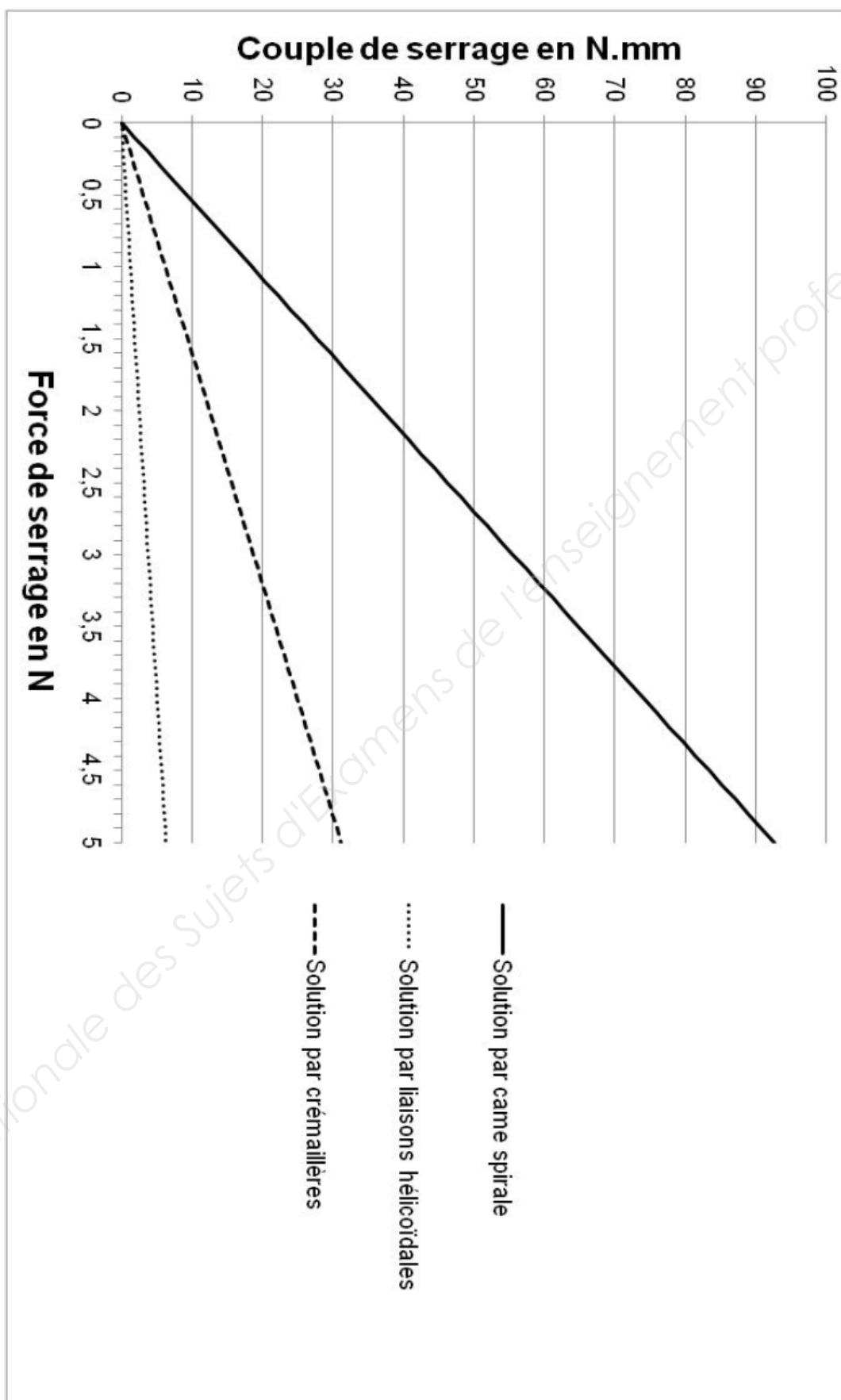
$r_p$  : rayon primitif du pignon  
 $r_p = 5 \text{ mm}$  (pour des raisons d'encombrement et de fabrication)

Pour un tour du pignon, les pinces se rapprochent de :  $4\pi r_p$


Système réversible (on peut déplacer les pinces en agissant dessus)

BTS CIM – Épreuve E4 : Conception préliminaire d'un système microtechnique	Session 2018
Code de l'épreuve : 18-CDE4CP-ME1	Durée : 4 heures Coefficient : 2 DT7 / 23

## COUPLE DE SERRAGE EN FONCTION DE LA FORCE DE SERRAGE POUR LES TROIS SOLUTIONS PROPOSÉES



# ERGONOMIE

<b>Efforts admissibles pour la manœuvre des éléments de machines en Newton</b>		Effort momentané non répété			Effort admissible en travail normal	
		Homme		Femme	Fréquence de rotation en tours/min	
		Très fort	Moyen			
				10	20	
	Bouton moleté	18	10	4	2,5	1,5
	Bouton moleté à encoches	20	12	5	3	2
	Ecrou à oreilles	25	17	8	4	2,5
	Ecrou six pans	30	20	7	5	3
	Ecrou croisillon	35	23	8	6	4
	Manche (tournevis)	40	27	10	7	4,5
	Clé à douille (1 main)	50	33	11	8	5
	Clé à bécuille (2 mains)	75	50	15	12	15

La valeur des efforts est donnée en effort tangentiel  $E$  sur le rayon d'application  $r$  de l'effort.

Cet effort détermine un couple  $C = E \times r$ .

avec  $r$  = rayon d'application de l'effort

pour boutons moletés, manches, volants sans poignée

$r = 0.5 D$

pour écrous ou poignées étoilées

$r = 0.45 D$

pour écrous à oreilles, croisillons, poignées, bécuelles

$r = 0.4 D$

pour clefs et leviers

$r = 0.8 R$

avec  $D$  = diamètre extérieur élément machine

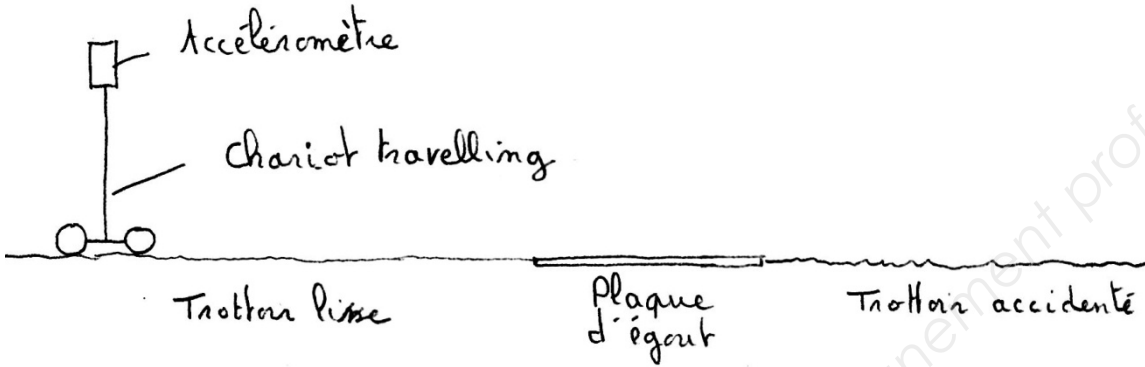
$R$  = rayon extérieur élément machine

Dans le cas d'utilisation d'un outil, de plusieurs doigts ou des deux mains  $E$  est l'effort total.

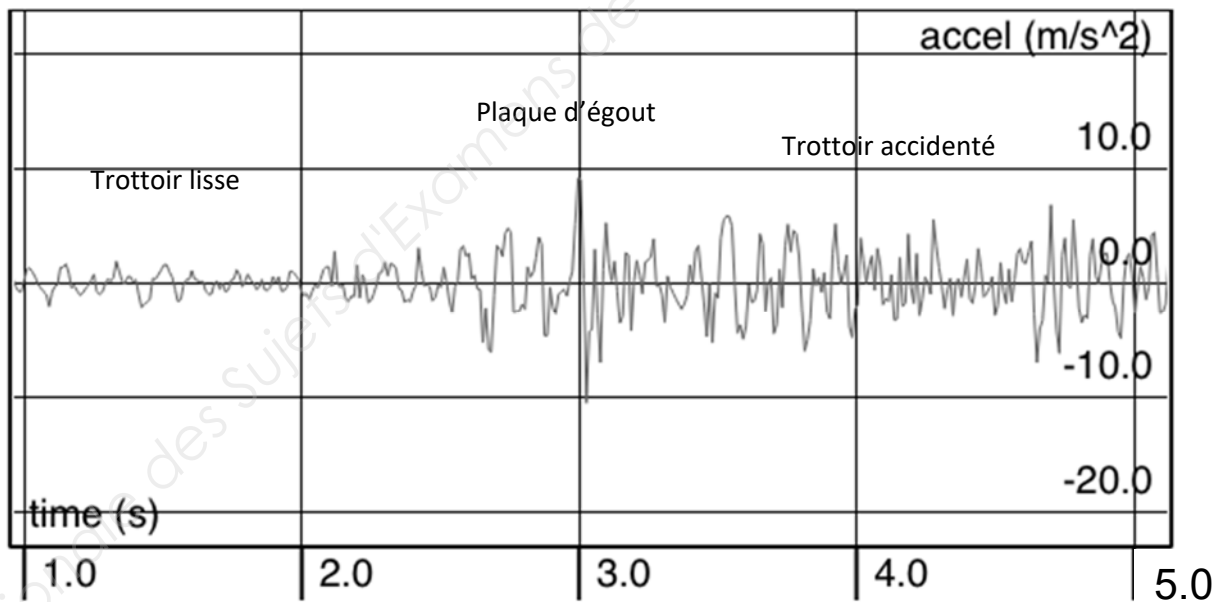
La valeur des efforts donnés ci-dessus en [N] peut être augmentée ou diminuée suivant les conditions plus ou moins favorables du travail.

# ACCÉLÉRATION LORS D'UN TRAVELLING

Accélération verticale du smartphone par rapport au sol lors d'un travelling sur différents revêtements.



Protocole de mesure :



# DESCRIPTION FONCTIONNELLE DE DIFFÉRENTS MOTEURS ÉLECTRIQUES

## MCC (Moteur à Courant Continu) (ou encore Moteur à balais)

Il est constitué d'un stator (externe) qui est à l'origine d'un flux magnétique fixe et d'un rotor (interne) bobiné relié à un collecteur rotatif. Le flux magnétique du stator est obtenu la plupart du temps grâce à des aimants permanents. Le collecteur rotatif inverse la polarité de chaque bobine du rotor au moins une fois par tour de sorte que le couple moteur soit toujours productif. Des balais assurent les contacts électriques par frottement sur le collecteur, entre la source de tension continue et les bobines du rotor.



Il possède généralement un bon couple mais son rendement est moyen. Il nécessite un entretien (balais, collecteur). Il ne nécessite pas d'électronique de commande complexe (il peut être connecté directement à la source de tension continue). Le contrôle de sa vitesse peut être obtenu par un circuit électronique hacheur simple. Il ne peut pas être utilisé en positionnement angulaire car par constitution il est fait pour tourner. Le couplage à un réducteur mécanique permet d'adapter sa vitesse de rotation à une multitude d'applications. Ce couplage permet d'ailleurs et aussi le positionnement angulaire que le MCC seul ne peut pas faire. Son coût est généralement faible. C'est un moteur qui possède un bon rapport poids puissance. Il en existe de toutes les tailles.

## Moteur Brushless (ou BLDC) (ou encore Moteur sans balai)

C'est une machine électrique qui appartient à la catégorie des machines électriques synchrones. Il est constitué d'un stator composé de plusieurs bobines électriques et d'un rotor portant plusieurs aimants permanents. Cette disposition permet d'éliminer les problèmes de collecteur rotatif (cf. le MCC) mais rend obligatoire l'utilisation d'une électronique de pilotage spécifique et complexe assurant la commutation des courants (nécessaire à l'entretien de la rotation).



Le moteur Brushless possède un très bon couple. Son rapport poids puissance est excellent. Il est silencieux et n'est à l'origine d'aucune perturbation électromagnétique. Il est fiable et d'une durée de vie excellente. Il ne nécessite aucun entretien. Les composants électroniques de puissance (MOS IGBT) ayant progressé, le moteur Brushless a remplacé presque complètement le moteur MCC dans les applications nécessitant une commande et une régulation électronique du couple, de la vitesse et/ou de la position. Son rendement est excellent et son coût est faible. Concernant le critère de réversibilité, il n'offre aucune résistance à la rotation si l'alimentation est coupée puisque son rotor est monté sur roulement.

Il existe 2 variantes du moteur Brushless ; l'inrunner et l'outrunner.

### Moteur Brushless inrunner

Cette version possède toutes les caractéristiques des moteurs Brushless. Sa particularité tient à la disposition des pièces : le rotor est à l'intérieur, le stator est à l'extérieur.

Ce modèle est le plus courant.

BTS CIM – Épreuve E4 : Conception préliminaire d'un système microtechnique			Session 2018
Code de l'épreuve : 18-CDE4CP-ME1	Durée : 4 heures	Coefficient : 2	DT11 / 23

### Moteur Brushless outrunner

Cette version possède également toutes les caractéristiques des moteurs Brushless. Seul le placement des pièces le distingue de l'inrunner : Le rotor est à l'extérieur, le stator à l'intérieur.

Cette disposition rend possible le montage d'un nombre plus important d'aimants. Il possède de ce fait plus de couple à basse vitesse. Le fait qu'il possède plus d'aimants le prédispose aussi à des applications nécessitant un positionnement angulaire précis (nombre de pas par tour plus important que pour l'inrunner). Cette disposition n'affecte pas vraiment le critère d'encombrement qui reste très bon comme pour l'inrunner.

### **MPP** (ou Moteur Pas à Pas)

Le moteur pas à pas est un appareil qui convertit des impulsions électriques en déplacement angulaire. De ce fait, il ressemble beaucoup au moteur Brushless. Mais contrairement à ce dernier, le moteur pas à pas n'a pas beaucoup de couple. Aussi, il est très souvent associé à un réducteur. Les conséquences directes sont qu'il n'est pas réversible et qu'il n'est pas très compact. La plupart du temps, il est utilisé en positionnement. Il existe plusieurs technologies différentes de moteur pas à pas. Toutes nécessitent une électronique spécifique de pilotage des impulsions électriques.



### **Réducteur mécanique**

Il permet de réduire la vitesse d'un moteur pour l'adapter à l'application. Il est souvent nécessaire du fait des grandes différences de vitesse entre les moteurs et les besoins dans les applications. Il augmente l'inertie et présente des jeux mécaniques qui sont parfois néfastes (notamment en positionnement).

Si le facteur de réduction est important, les motoréducteurs sont irréversibles.

Le réducteur augmente l'encombrement de la motorisation et son poids.



# TRANSISTORS N-MOS

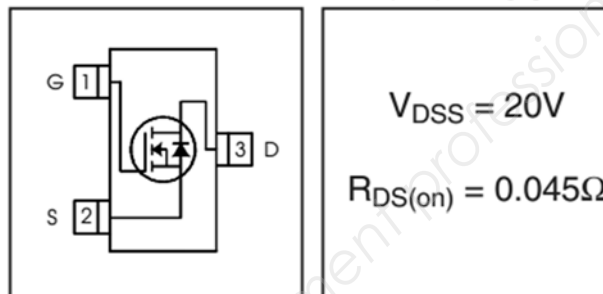
## 1 – IRLML2502PbF

International  
**IR** Rectifier

**IRLML2502PbF**

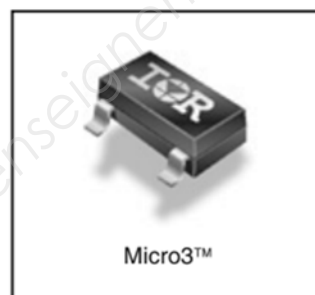
- Ultra Low On-Resistance
- N-Channel MOSFET
- SOT-23 Footprint
- Low Profile (<1.1mm)
- Available in Tape and Reel
- Fast Switching
- Lead-Free
- RoHS Compliant, Halogen-Free

HEXFET® Power MOSFET



### Description

These N-Channel MOSFETs from International Rectifier utilize advanced processing techniques to achieve extremely low on-resistance per silicon area. This benefit, combined with the fast switching speed and ruggedized device design that HEXFET® power MOSFETs are well known for, provides the designer with an extremely efficient and reliable device for use in battery and load management.



### Absolute Maximum Ratings

	Parameter	Max.	Units
$V_{DS}$	Drain- Source Voltage	20	V
$I_D @ T_A = 25^\circ C$	Continuous Drain Current, $V_{GS} @ 4.5V$	4.2	A
$I_D @ T_A = 70^\circ C$	Continuous Drain Current, $V_{GS} @ 4.5V$	3.4	
$I_{DM}$	Pulsed Drain Current $\text{\textcircled{D}}$	33	
$V_{GS}$	Gate-to-Source Voltage	$\pm 12$	V
$T_J, T_{STG}$	Junction and Storage Temperature Range	-55 to + 150	$^\circ C$

### Electrical Characteristics @ $T_J = 25^\circ C$ (unless otherwise specified)

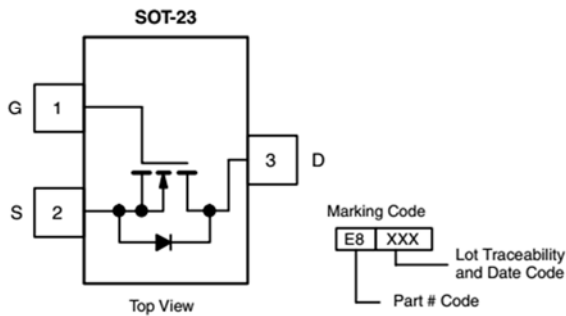
Parameter	Parameter	Min.	Typ.	Max.	Units	Conditions
$V_{(BR)DSS}$	Drain-to-Source Breakdown Voltage	20	—	—	V	$V_{GS} = 0V, I_D = 250\mu A$
$\Delta V_{(BR)DSS}/\Delta T_J$	Breakdown Voltage Temp. Coefficient	—	0.01	—	$V/^\circ C$	Reference to $25^\circ C, I_D = 1.0mA$
$R_{DS(on)}$	Static Drain-to-Source On-Resistance	—	0.035	0.045	$\Omega$	$V_{GS} = 4.5V, I_D = 4.2A \text{\textcircled{2}}$
		—	0.050	0.080		$V_{GS} = 2.5V, I_D = 3.6A \text{\textcircled{2}}$
$V_{GS(th)}$	Gate Threshold Voltage	0.60	—	1.2	V	$V_{DS} = V_{GS}, I_D = 250\mu A$
$\Delta V_{GS(th)}$	Gate Threshold Voltage Coefficient	—	-3.2	—	$mV/^\circ C$	





## N-Channel 30 V (D-S) MOSFET

PRODUCT SUMMARY			
V <sub>DS</sub> (V)	R <sub>DS(on)</sub> (Ω)	I <sub>D</sub> (A) <sup>a, e</sup>	Q <sub>g</sub> (Typ.)
30	0.028 at V <sub>GS</sub> = 10 V	6	4.2 nC
	0.033 at V <sub>GS</sub> = 4.5 V	6	



**Ordering Information:**  
Si2338DS-T1-GE3 (Lead (Pb)-free and Halogen-free)

### FEATURES

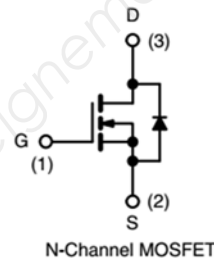
- Halogen-free According to IEC 61249-2-21 Definition
- TrenchFET<sup>®</sup> Power MOSFET
- Low On-Resistance
- 100 % R<sub>g</sub> Tested
- Compliant to RoHS Directive 2002/95/EC



**RoHS**  
COMPLIANT  
HALOGEN  
**FREE**

### APPLICATIONS

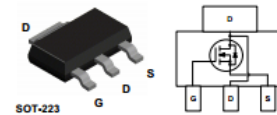
- DC/DC Converters, High Speed Switching



ABSOLUTE MAXIMUM RATINGS (T <sub>A</sub> = 25 °C, unless otherwise noted)				
Parameter	Symbol	Limit	Unit	
Drain-Source Voltage	V <sub>DS</sub>	30	V	
Gate-Source Voltage	V <sub>GS</sub>	± 20		
Continuous Drain Current (T <sub>J</sub> = 150 °C)	I <sub>D</sub>	T <sub>C</sub> = 25 °C	6 <sup>e</sup>	
		T <sub>C</sub> = 70 °C	6 <sup>e</sup>	
		T <sub>A</sub> = 25 °C	5.5 <sup>b, c</sup>	
		T <sub>A</sub> = 70 °C	4.4 <sup>b, c</sup>	
Pulsed Drain Current (t = 300 μs)	I <sub>DM</sub>	25	A	
Operating Junction and Storage Temperature Range	T <sub>J</sub> , T <sub>stg</sub>	- 55 to 150		
Soldering Recommendations (Peak Temperature)		260		

SPECIFICATIONS (T <sub>J</sub> = 25 °C, unless otherwise noted)						
Parameter	Symbol	Test Conditions	Min.	Typ.	Max.	Unit
<b>Static</b>						
Gate-Source Threshold Voltage	V <sub>GS(th)</sub>	V <sub>DS</sub> = V <sub>GS</sub> , I <sub>D</sub> = 250 μA	1.2		2.5	V
On-State Drain Current <sup>a</sup>	I <sub>D(on)</sub>	V <sub>DS</sub> ≤ 5 V, V <sub>GS</sub> = 10 V	20			A
Drain-Source On-State Resistance <sup>a</sup>	R <sub>DS(on)</sub>	V <sub>GS</sub> = 10 V, I <sub>D</sub> = 5.5 A		0.023	0.028	Ω
		V <sub>GS</sub> = 4.5 V, I <sub>D</sub> = 5 A		0.027	0.033	

### 3 – NDT3055L



## NDT3055L N-Channel Logic Level Enhancement Mode Field Effect Transistor

### General Description

These logic level N-Channel enhancement mode power field effect transistors are produced using Fairchild's proprietary, high cell density, DMOS technology. This very high density process is especially tailored to minimize on-state resistance and provide superior switching performance, and withstand high energy pulse in the avalanche and commutation modes. These devices are particularly suited for low voltage applications such as DC motor control and DC/DC conversion where fast switching, low in-line power loss, and resistance to transients are needed.

### Features

- 4 A, 60 V.  $R_{DS(ON)} = 0.100 \Omega @ V_{GS} = 10 \text{ V}$ ,  
 $R_{DS(ON)} = 0.120 \Omega @ V_{GS} = 4.5 \text{ V}$ .
- Low drive requirements allowing operation directly from logic drivers.  $V_{GS(TH)} < 2\text{V}$ .
- High density cell design for extremely low  $R_{DS(ON)}$ .
- High power and current handling capability in a widely used surface mount package.

### Absolute Maximum Ratings $T_A = 25^\circ\text{C}$ unless otherwise noted

Symbol	Parameter	NDT3055L	Units
$V_{DSS}$	Drain-Source Voltage	60	V
$V_{GSS}$	Gate-Source Voltage - Continuous	$\pm 20$	V
$I_D$	Maximum Drain Current - Continuous - Pulsed	4	A
		25	
$T_J, T_{STG}$	Operating and Storage Temperature Range	-65 to 150	$^\circ\text{C}$

### Electrical Characteristics ( $T_A = 25^\circ\text{C}$ unless otherwise noted)

Symbol	Parameter	Conditions	Min	Typ	Max	Units
<b>ON CHARACTERISTICS (Note 2)</b>						
$V_{GS(TH)}$	Gate Threshold Voltage	$V_{DS} = V_{GS}, I_D = 250 \mu\text{A}$	1	1.6	2	V
$R_{DS(ON)}$	Static Drain-Source On-Resistance	$V_{GS} = 10 \text{ V}, I_D = 4 \text{ A}$		0.07	0.1	$\Omega$
		$T_J = 125^\circ\text{C}$		0.125	0.18	
		$V_{GS} = 4.5 \text{ V}, I_D = 3.7 \text{ A}$		0.103	0.12	
$I_{D(ON)}$	On-State Drain Current	$V_{GS} = 5, V_{DS} = 10 \text{ V}$	10			A

# TRANSISTORS P-MOS

## 1 – IRLML6402

International  
**IR** Rectifier

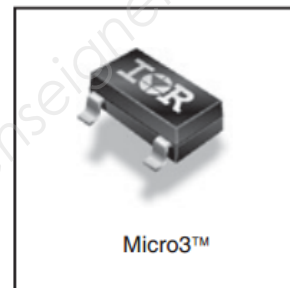
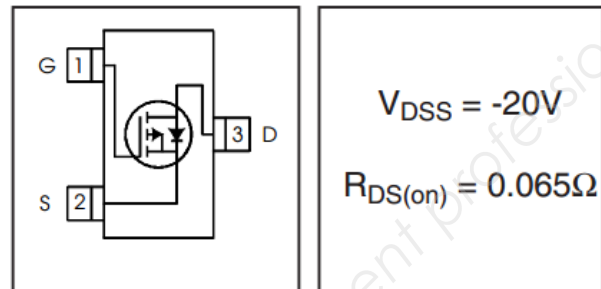
# IRLML6402

HEXFET® Power MOSFET

- Ultra Low On-Resistance
- P-Channel MOSFET
- SOT-23 Footprint
- Low Profile (<1.1mm)
- Available in Tape and Reel
- Fast Switching

### Description

These P-Channel MOSFETs from International Rectifier utilize advanced processing techniques to achieve extremely low on-resistance per silicon area. This benefit, combined with the fast switching speed and ruggedized device design that HEXFET® power MOSFETs are well known for, provides the designer with an extremely efficient and reliable device for use in battery and load management.



### Absolute Maximum Ratings

	Parameter	Max.	Units
$V_{DS}$	Drain- Source Voltage	-20	V
$I_D @ T_A = 25^\circ C$	Continuous Drain Current, $V_{GS} @ -4.5V$	-3.7	A
$I_D @ T_A = 70^\circ C$	Continuous Drain Current, $V_{GS} @ -4.5V$	-2.2	
$I_{DM}$	Pulsed Drain Current $\text{\textcircled{D}}$	-22	
$V_{GS}$	Gate-to-Source Voltage	$\pm 12$	V
$T_J, T_{STG}$	Junction and Storage Temperature Range	-55 to + 150	$^\circ C$

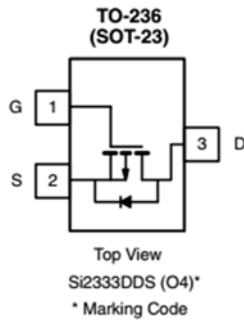
### Electrical Characteristics @ $T_J = 25^\circ C$ (unless otherwise specified)

	Parameter	Min.	Typ.	Max.	Units	Conditions
$V_{(BR)DSS}$	Drain-to-Source Breakdown Voltage	-20	—	—	V	$V_{GS} = 0V, I_D = -250\mu A$
$\Delta V_{(BR)DSS}/\Delta T_J$	Breakdown Voltage Temp. Coefficient	—	-0.009	—	V/ $^\circ C$	Reference to $25^\circ C, I_D = -1mA \text{\textcircled{D}}$
$R_{DS(on)}$	Static Drain-to-Source On-Resistance	—	0.050	0.065	$\Omega$	$V_{GS} = -4.5V, I_D = -3.7A \text{\textcircled{D}}$
		—	0.080	0.135		$V_{GS} = -2.5V, I_D = -3.1A \text{\textcircled{D}}$
$V_{GS(th)}$	Gate Threshold Voltage	-0.40	-0.55	-1.2	V	$V_{DS} = V_{GS}, I_D = -250\mu A$



**P-Channel 12 V (D-S) MOSFET**

MOSFET PRODUCT SUMMARY			
V <sub>DS</sub> (V)	R <sub>DS(on)</sub> (Ω) Max.	I <sub>D</sub> (A) <sup>a</sup>	Q <sub>g</sub> (Typ.)
- 12	0.028 at V <sub>GS</sub> = - 4.5 V	- 6 <sup>o</sup>	9 nC
	0.032 at V <sub>GS</sub> = - 3.7 V	- 6 <sup>o</sup>	



**FEATURES**

- TrenchFET<sup>®</sup> Power MOSFET
- 100 % R<sub>g</sub> Tested
- Material categorization: For definitions of compliance please see [www.vishay.com/doc?99912](http://www.vishay.com/doc?99912)



RoHS  
COMPLIANT  
HALOGEN  
FREE

**APPLICATIONS**

- Smart Phones and Tablet PCs
  - Load Switch
  - Battery Switch

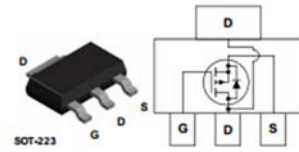
ABSOLUTE MAXIMUM RATINGS (T <sub>A</sub> = 25 °C, unless otherwise noted)			
Parameter	Symbol	Limit	Unit
Drain-Source Voltage	V <sub>DS</sub>	- 12	V
Gate-Source Voltage	V <sub>GS</sub>	± 8	
Continuous Drain Current (T <sub>J</sub> = 150 °C)	I <sub>D</sub>	T <sub>C</sub> = 25 °C	- 6 <sup>e</sup>
		T <sub>C</sub> = 70 °C	- 5.2
		T <sub>A</sub> = 25 °C	- 5 <sup>b, c</sup>
		T <sub>A</sub> = 70 °C	- 4 <sup>b, c</sup>
Pulsed Drain Current (t = 300 μs)	I <sub>DM</sub>	- 20	A
Operating Junction and Storage Temperature Range	T <sub>J</sub> , T <sub>stg</sub>	- 55 to 150	

MOSFET SPECIFICATIONS (T <sub>J</sub> = 25 °C, unless otherwise noted)						
Parameter	Symbol	Test Conditions	Min.	Typ.	Max.	Unit
<b>Static</b>						
Gate-Source Threshold Voltage	V <sub>GS(th)</sub>	V <sub>DS</sub> = V <sub>GS</sub> , I <sub>D</sub> = - 250 μA	- 0.4		- 1	V
On-State Drain Current <sup>a</sup>	I <sub>D(on)</sub>	V <sub>DS</sub> ≤ - 5 V, V <sub>GS</sub> = - 4.5 V	- 20			A
Drain-Source On-State Resistance <sup>a</sup>	R <sub>DS(on)</sub>	V <sub>GS</sub> = - 4.5 V, I <sub>D</sub> = - 5 A		0.023	0.028	Ω
		V <sub>GS</sub> = - 3.7 V, I <sub>D</sub> = - 4.6 A		0.026	0.032	

### 3 – NDT2955



## NDT2955



### P-Channel Enhancement Mode Field Effect Transistor

#### General Description

This 60V P-Channel MOSFET is produced using Fairchild Semiconductor's high voltage Trench process. It has been optimized for power management applications.

#### Applications

- DC/DC converter
- Power management

#### Features

- -2.5 A, -60 V.  $R_{DS(ON)} = 300\text{m}\Omega @ V_{GS} = -10\text{ V}$   
 $R_{DS(ON)} = 500\text{m}\Omega @ V_{GS} = -4.5\text{ V}$
- High density cell design for extremely low  $R_{DS(ON)}$
- High power and current handling capability in a widely used surface mount package.

#### Absolute Maximum Ratings $T_A = 25^\circ\text{C}$ unless otherwise noted

Symbol	Parameter	Ratings	Units
$V_{DSS}$	Drain-Source Voltage	-60	V
$V_{GSS}$	Gate-Source Voltage	$\pm 20$	V
$I_D$	Drain Current – Continuous (Note 1a)	-2.5	A
	– Pulsed	-15	
$T_J, T_{STG}$	Operating and Storage Junction Temperature Range	-55 to +150	$^\circ\text{C}$

#### Electrical Characteristics $T_A = 25^\circ\text{C}$ unless otherwise noted

Symbol	Parameter	Test Conditions	Min	Typ	Max	Units
<b>On Characteristics (Note 2)</b>						
$V_{GS(th)}$	Gate Threshold Voltage	$V_{DS} = V_{GS}, I_D = -250\ \mu\text{A}$	-2	-2.6	-4	V
$R_{DS(on)}$	Static Drain-Source On-Resistance	$V_{GS} = -10\text{ V}, I_D = -2.5\text{ A}$		95	300	$\text{m}\Omega$
		$V_{GS} = -4.5\text{ V}, I_D = -2\text{ A}$		163	500	
		$V_{GS} = -10\text{ V}, I_D = -2.5\text{ A}, T_J = 125^\circ\text{C}$		153	513	
$I_{D(on)}$	On-State Drain Current	$V_{GS} = -10\text{ V}, V_{DS} = -5\text{ V}$	-12			A

# BATTERIE D'ACCUMULATEURS

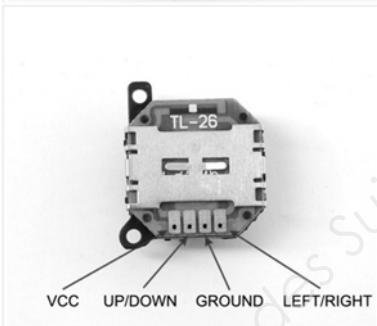


## Specifications

Model: **HB01-522365**

- Type : LiPo
- Capacity : 980 mAh
- Energy : 10,8 Wh
- Voltage : 11,1 V
- Charging Temperature : 5° to 40°C (41° to 104°F)
- Operating Temperature : 0° to 40°C (32° to 104°F)

# JOYSTICK ANALOGIQUE



## Joystick Pouce analogique 2 axes

Le joystick Pouce est un composant de type analogique avec centrage automatique du bouton. Il est équivalent à deux potentiomètres de 10K $\Omega$ , un pour la position haut/bas (UP/DOWN), l'autre pour la position gauche/droite (LEFT/RIGHT) du bouton. En connectant la broche VCC à l'alimentation positive (3 à 5V) et la broche GROUND à la masse, la lecture des tensions produites permet de suivre précisément les mouvements du bouton (loi proportionnelle au déplacement). En relâchant le joystick, le bouton revient automatiquement en position centrale de repos.

### Spécifications:

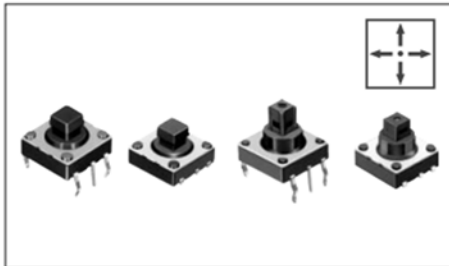
- Interface : Double potentiomètres 10K avec Vcc et masse communs
- Dimensions : 0.75" x 0.75" x 0.35" (19 mm x 19 mm x 9 mm)
- Déplacement du bouton :  $\pm 5$  mm par rapport à la position de repos
- Gamme de températures opérationnelle : +32°F to +158°F (0°C to +70°C)

# JOYSTICK SWITCH (INTERRUPTEUR)

## Multi Control Devices TACT Switch™ 4-directional with Center Push (SMD & Snap-in) Type SKQU Series



Compact 10mm square type provides compound actions of 4-directional and center push.



### Features

- A sharp click feel with tactile feedback characteristic.
- The stem has a joint shape which allows a knob to be attached on.
- Two types are available: snap-in type allowing automatic flow soldering. SMD type allowing reflow soldering.
- Surface mount type products are packaged with a 32mm width embossed taping.

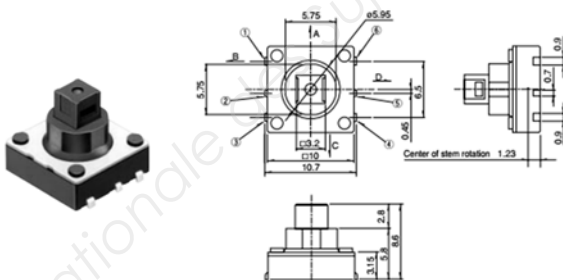
### Applications

- Cursor operations for devices requiring graphic input
- Adjustments of TVs, video recorders, etc.
- Adjustment of audio devices such as equalizers
- Operations of various multi-functional electronic equipment

### Products Line 4-directional Type

Products No.	Operating force		Travel (mm)		Rating (max.)	Rating (min.)	Operating life (5mA 5V DC)	Initial contact resistance	Variety	Minimum packing unit※ (pcs.)	Drawing No.
	4-direction	Center push	4-direction	Center push							
SKQUAAA010	1.57N	—	0.35	—	50mA 12V DC	10μ A 1V DC	50,000 cycles for each direction	500m Ω max.	Snap-in type	1,000	1
SKQUBAE010									Surface mount type	750	2

### Surface-mount



### Circuit Diagram

#### 4-directional type





# MICROCHIP PIC16(L)F15356/75/76/85/86

## Full-Featured 28/40/44/48-Pin Microcontrollers

### Description

PIC16(L)F15356/75/76/85/86 microcontrollers feature Analog, Core Independent Peripherals and Communication Peripherals, combined with eXtreme Low-Power (XLP) technology for a wide range of general purpose and low-power applications.

The devices feature multiple PWMs, multiple communication, temperature sensor, and memory features like Memory Access Partition (MAP) to support customers in data protection and bootloader applications, and Device Information Area (DIA) which stores factory calibration values to help improve temperature sensor accuracy.

### Core Features

- C Compiler Optimized RISC Architecture
- Only 48 Instructions
- Operating Speed:
  - DC – 32 MHz clock input
  - 125 ns minimum instruction cycle
- Interrupt Capability
- 16-Level Deep Hardware Stack
- Timers:
  - 8-bit Timer2 with Hardware Limit Timer (HLT)
  - 16-bit Timer0/1
- Low-Current Power-on Reset (POR)
- Configurable Power-up Timer (PWRT)
- Brown-out Reset (BOR)
- Low-Power BOR (LPBOR) Option
- Windowed Watchdog Timer (WWDT):
  - Variable prescaler selection
  - Variable window size selection
  - All sources configurable in hardware or software
- Programmable Code Protection

### Memory

- Up to 28 KB Flash Program Memory
- Up to 2 KB Data SRAM
- Direct, Indirect and Relative Addressing modes
- Memory Access Partition (MAP):
  - Write protect
  - Customizable Partition
- Device Information Area (DIA)
- Device Configuration Information (DCI)

### Operating Characteristics

- Operating Voltage Range:
  - 1.8V to 3.6V (PIC16LF15356/75/76/85/86)
  - 2.3V to 5.5V (PIC16F15356/75/76/85/86)
- Temperature Range:
  - Industrial: -40°C to 85°C
  - Extended: -40°C to 125°C

### Power-Saving Functionality

- DOZE mode: Ability to Run the CPU Core Slower than the System Clock
- IDLE mode: Ability to halt CPU Core while Internal Peripherals Continue Operating
- SLEEP mode: Lowest Power Consumption
- Peripheral Module Disable (PMD):
  - Ability to disable hardware module to minimize active power consumption of unused peripherals

### eXtreme Low-Power (XLP) Features

- Sleep mode: 50 nA @ 1.8V, typical
- Watchdog Timer: 500 nA @ 1.8V, typical
- Secondary Oscillator: 500 nA @ 32 kHz
- Operating Current:
  - 8  $\mu$ A @ 32 kHz, 1.8V, typical
  - 32  $\mu$ A/MHz @ 1.8V, typical

### Digital Peripherals

- Four Configurable Logic Cells (CLC):
  - Integrated combinational and sequential logic
- Complementary Waveform Generator (CWG):
  - Rising and falling edge dead-band control
  - Full-bridge, half-bridge, 1-channel drive
  - Multiple signal sources
- Two Capture/Compare/PWM (CCP) module:
  - 16-bit resolution for Capture/Compare modes
  - 10-bit resolution for PWM mode
- Four 10-Bit PWMs
- Numerically Controlled Oscillator (NCO):
  - Generates true linear frequency control and increased frequency resolution
  - Input Clock: 0 Hz <  $F_{NCO}$  < 32 MHz
  - Resolution:  $F_{NCO}/2^{20}$
- Two EUSART, RS-232, RS-485, LIN compatible
- Two SPI
- Two I<sup>2</sup>C, SMBus, PMBus™ compatible



# PIC16(L)F15356/75/76/85/86

## Digital Peripherals (Cont.)

- I/O Pins:
  - Individually programmable pull-ups
  - Slew rate control
  - Interrupt-on-change with edge-select
  - Input level selection control (ST or TTL)
  - Digital open-drain enable
- Peripheral Pin Select (PPS):
  - Enables pin mapping of digital I/O

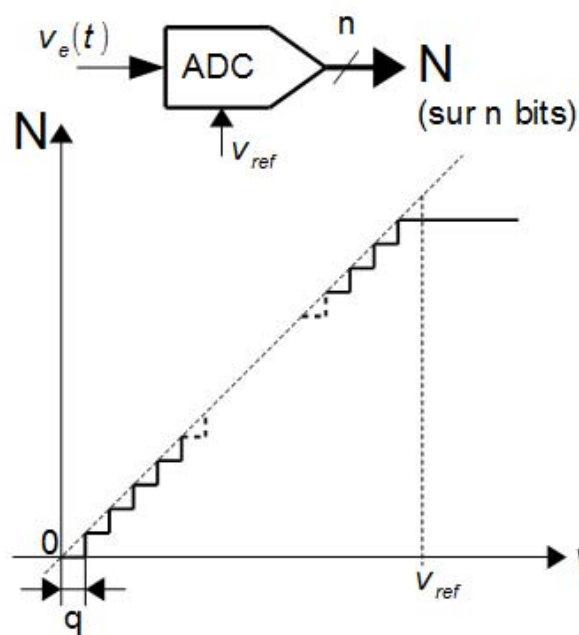
## Analog Peripherals

- Analog-to-Digital Converter (ADC):
  - 10-bit with up to 43 external channels
  - Operates in Sleep
- Two Comparators:
  - FVR, DAC and external input pin available on inverting and noninverting input
  - Software selectable hysteresis
  - Outputs available internally to other modules, or externally through PPS
- 5-Bit Digital-to-Analog Converter (DAC):
  - 5-bit resolution, rail-to-rail
  - Positive Reference Selection
  - Unbuffered I/O pin output
  - Internal connections to ADCs and comparators
- Voltage Reference:
  - Fixed Voltage Reference with 1.024V, 2.048V and 4.096V output levels
- Zero-Cross Detect module:
  - AC high voltage zero-crossing detection for simplifying TRIAC control
  - Synchronized switching control and timing

## Flexible Oscillator Structure

- High-Precision Internal Oscillator:
  - Software selectable frequency range up to 32 MHz,  $\pm 1\%$  typical
- x2/x4 PLL with Internal and External Sources
- Low-Power Internal 32 kHz Oscillator (LFINTOSC)
- External 32 kHz Crystal Oscillator (SOSC)
- External Oscillator Block with:
  - Three crystal/resonator modes up to 20 MHz
  - Three external clock modes up to 32 MHz
- Fail-Safe Clock Monitor:
  - Allows for safe shutdown if primary clock stops
- Oscillator Start-up Timer (OST):
  - Ensures stability of crystal oscillator resources

## ADC (Analog to Digital Converter) du $\mu\text{C PIC 16F15356}$



$$N = \begin{cases} 0 & \text{si } v_e(t) \leq 0 \\ E\left(\frac{v_e(t)}{q}\right) & \text{si } 0 \leq v_e(t) \leq V_{ref} \\ 2^n - 1 & \text{si } V_{ref} < v_e(t) \end{cases}$$

avec

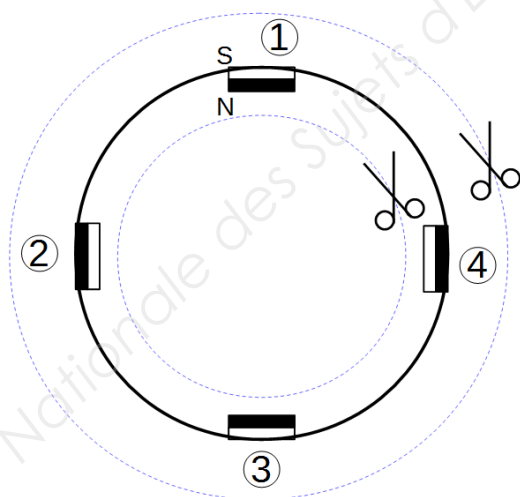
Le quantum  $q = \frac{V_{ref}}{2^n}$

$E(\ ) =$  partie entière( )

$V_{ref} = 5\text{ V}$  dans notre application

L'ADC produit un nombre (numérique)  $N$ , image de la tension (analogique) appliquée sur son entrée  $V_e(t)$ .  $N$  est un nombre binaire sur  $n$  bits (voir **DT21** et **DT22**). La tension de référence  $V_{ref}$  doit être précise car elle est utilisée pour fixer l'échelle de conversion.

## Rotor (ou cloche) du moteur Brushless étudié



Pour vous aider à la question Q20 (TD6 / 10), vous pouvez découper la cloche selon les pointillés et la faire tourner au-dessus du stator

# SESSION 2018

## BREVET DE TECHNICIEN SUPÉRIEUR

### CONCEPTION ET INDUSTRIALISATION EN MICROTECHNIQUES

#### ÉPREUVE E4

### CONCEPTION PRÉLIMINAIRE D'UN SYSTÈME MICROTECHNIQUE

### STABILISATEUR POUR SMARTPHONE

#### TRAVAIL DEMANDE

Ce dossier comporte 10 pages repérées TD1 à TD10.

#### Temps conseillé :

- Lecture du sujet : 30 min
- Activité 1 : 15 min
- Activité 2 : 45 min
- Activité 3 : 30 min
- Activité 4 : 20 min
- Activité 5 : 15 min
- Activité 6 : 30 min
- Activité 7 : 30 min
- Activité 8 : 25 min

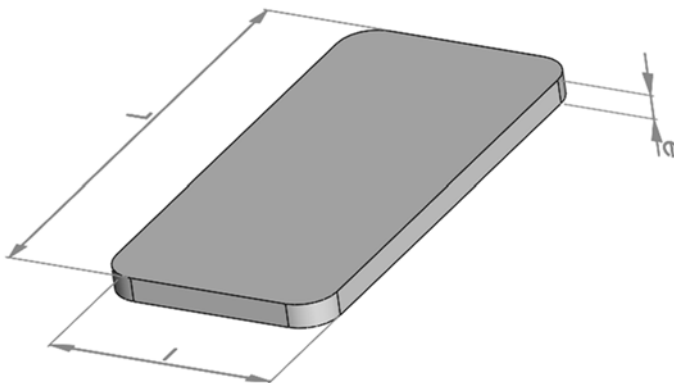
#### Objectifs généraux de l'étude :

- faire un choix de conception préliminaire à partir de différentes solutions proposées,
- réaliser l'étude de l'équilibrage par rapport aux différents axes de rotation afin d'optimiser la puissance nécessaire au niveau des moteurs ce qui améliorera la réactivité du système et limitera sa consommation.

BTS CIM – Épreuve E4 : Conception préliminaire d'un système microtechnique			Session 2018
Code de l'épreuve : 18-CDE4CP-ME1	Durée : 4 heures	Coefficient : 2	<b>TD 0 / 10</b>

**Problématique de l'activité 1 :** vérifier la compatibilité du cahier des charges au regard des smartphones en usage actuellement.

**Q 1.** Indiquer les différentes caractéristiques des smartphones sur le tableau fourni dans le document réponse **DR1**. Voir **DT6**.



L : longueur  
l : largeur  
e : épaisseur  
m : masse

**Q 2.** La fonction FC 2 est-elle validée ? Justifier votre réponse.

**Problématique de l'activité 2 :** choisir un système de maintien en position du smartphone afin de permettre :

- un bon équilibrage du sous ensemble bras 3 et smartphone par rapport à l'axe de tangage  $\Delta_3$ .
- l'irréversibilité du mécanisme.
- une bonne ergonomie.

Pour un bon équilibrage, le centre de gravité  $G_{3S}$  de l'ensemble {3,S} doit appartenir à  $\Delta_3$ . Cela implique que le maintien du smartphone sur le bras 3 doit agir symétriquement.

Trois solutions de serrage ont été sélectionnées. Voir **DT7**.

Trois critères vont permettre de faire un choix :

- le couple de serrage ne doit pas dépasser un couple admissible lié à une bonne ergonomie.
- le nombre de tours pour serrer le smartphone doit être le plus faible possible pour faciliter la mise en place du smartphone.
- le système doit être irréversible. C'est-à-dire qu'une fois serré, le système ne doit pas pouvoir se desserrer tout seul.

Dans un premier temps, nous allons vérifier le premier critère. Pour cela, il faut déterminer la force de serrage minimum pour éviter que le smartphone ne tombe lorsqu'il est en mode portrait, puis déterminer le couple de serrage correspondant pour chaque solution.



Mode portrait

BTS CIM – Épreuve E4 : Conception préliminaire d'un système microtechnique		Session 2018	
Code de l'épreuve : 18-CDE4CP-ME1	Durée : 4 heures	Coefficient : 2	<b>TD1 / 10</b>

Le serrage est symétrique. Le coefficient d'adhérence  $f$  entre le smartphone et une pince est de 0.6.

Pour l'étude, on prendra le smartphone le plus lourd.

Répondre aux questions de **Q3** à **Q6** sur le document **DR1** et **DR2**.

On isole le smartphone.

**Q 3.** Faire le bilan des actions mécaniques extérieures. Tracer les supports de ces actions sur le smartphone isolé (on se placera à la limite de l'adhérence).

**Q 4.** Calculer  $\vec{P}$  le poids du smartphone et le tracer sur le smartphone isolé.

**Q 5.** Déterminer graphiquement  $\vec{F}_{pd \rightarrow s}$  et  $\vec{F}_{pg \rightarrow s}$ , les efforts de la pince droite et gauche sur le smartphone.

**Q 6.** Déterminer la projection de  $\vec{F}_{pd \rightarrow s}$  sur  $\vec{x}$ . Cette valeur correspond à la force de serrage d'une pince sur le smartphone (résolution graphique ou analytique).

Quelle que soit la valeur trouvée à la question **Q7**, on prendra  $F_s = 1.6$  N

**Q 7.** Pour les trois solutions, à l'aide du document **DT8**, déterminer le couple de serrage nécessaire pour obtenir la force calculée précédemment ?

**Q 8.** Ces couples sont-ils compatibles avec les normes ergonomiques si on choisit un bouton moleté de diamètre 25 mm (**DT9**) ? Les trois solutions sont-elles acceptables ?

Nous allons maintenant étudier le deuxième critère de choix.

**Q 9.** Pour les trois solutions, déterminer le nombre de tours nécessaires pour un déplacement des pinces de 20 mm.

**Q 10.** En tenant compte des 3 critères de choix, choisir et justifier la solution la plus adaptée.

**Problématique de l'activité 3 :** *proposer une solution technologique pour réaliser l'équilibrage du sous ensemble bras 2, bras 3 et du smartphone par rapport à l'axe de roulis  $\Delta_2$ .*

Le centre de gravité  $G_{23S}$  de l'ensemble  $\{2,3,S\}$  doit appartenir à  $\Delta_3$ .

Pour réaliser la condition d'équilibre, on a choisi de déplacer latéralement le smartphone dans la pince et de faire varier la longueur  $l_3$  du bras 2.

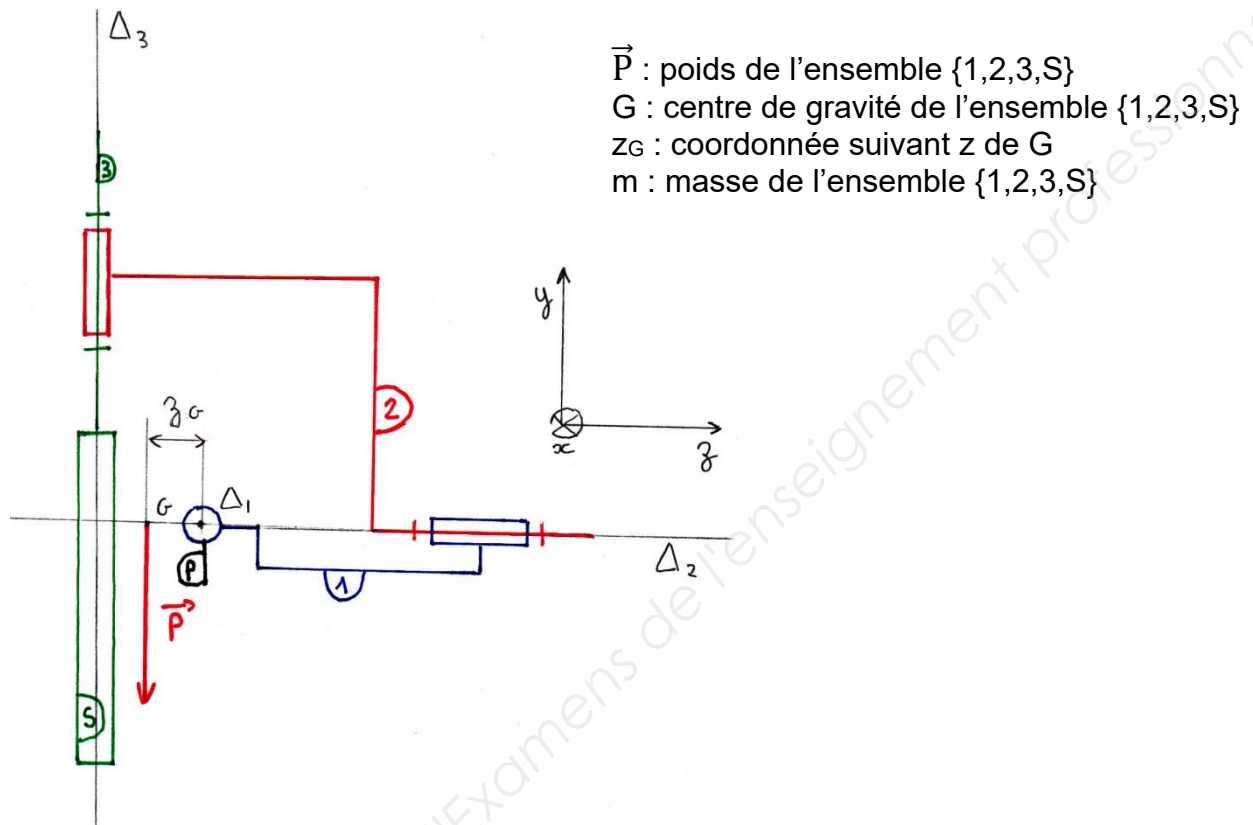
**Q 11.** A l'aide d'un croquis en perspective, proposer une solution simple permettant de faire varier la longueur  $l_3$  du bras 2 et de maintenir cette longueur. Les deux parties du bras ont une section rectangulaire. Attention au passage des fils d'alimentation du moteur de tangage.

BTS CIM – Épreuve E4 : Conception préliminaire d'un système microtechnique		Session 2018	
Code de l'épreuve : 18-CDE4CP-ME1	Durée : 4 heures	Coefficient : 2	<b>TD2 / 10</b>

**Problématique de l'activité 4 :** *déterminer le couple moteur dans le cas le plus défavorable.*

Dans un souci de simplification du mécanisme, on choisit de mettre les mêmes moteurs pour les trois axes. Le moteur le plus sollicité est le moteur du panoramique (axe  $\Delta_1$ ) en mode portrait.

Schéma cinématique de l'ensemble en mode portrait :



Calcul du couple moteur :  $C_m = C_p + C_a$

Où  $C_p$  : couple du poids de l'ensemble  $\{1,2,3,S\}$  par rapport à l'axe  $\Delta_1$ .

$C_a$  : couple lié à la masse de l'ensemble  $\{1,2,3,S\}$  et à l'accélération verticale  $a$  du mouvement de l'utilisatrice ou de l'utilisateur.  $C_a = m \cdot z_G \cdot a$

$z_G$  dépend de la masse et de la géométrie des bras 1, 2, 3 et de l'épaisseur et de la masse du smartphone. Il faut que  $z_G$  soit le plus petit possible pour limiter le couple moteur  $C_m$ .

**Q 12.** D'après le tableau des caractéristiques des différents smartphones sur le document **DR1**, quelle est la valeur maxi et mini de l'épaisseur du smartphone ? Aura-t-elle une grande influence sur  $z_G$  ?

Afin de simplifier la réalisation, le réglage de l'équilibrage sur l'axe  $\Delta_3$  ne sera pas mis en œuvre. Le système est donc équilibré pour le modèle le plus vendu dans le monde. Il s'agit de l'iphone 6s ( $z_G$  est égal à 0 pour ce smartphone).

Un calcul a permis de déterminer que  $z_G$  est le plus élevé lors de l'utilisation du Sony xperia xz premium. Il est égal à -1.66 mm. Les calculs suivants seront donc faits pour ce smartphone.

BTS CIM – Épreuve E4 : Conception préliminaire d'un système microtechnique		Session 2018	
Code de l'épreuve : 18-CDE4CP-ME1	Durée : 4 heures	Coefficient : 2	<b>TD3 / 10</b>

Après une première ébauche, on peut estimer la masse des différents éléments de l'ensemble :  $m_1 = 70$  g  
 $m_2 = 80$  g (un peu plus lourd car il y a le système de réglage de la longueur)  
 $m_3 = 130$  g (bras + système de fixation du smartphone)

**Q 13.** Calculer le couple  $C_p$  du poids de l'ensemble {1,2,3,S} par rapport à l'axe  $\Delta_3$ .

**Q 14.** A partir du **DT10**, déterminer l'accélération maximale  $a_{\max}$  à laquelle le système est soumis.

**Q 15.** Calculer  $C_{a \max}$  puis  $C_m$ .

**Problématique de l'activité 5 :** *sélectionner le type de moteur le plus approprié au système en phase de conception préliminaire.*

Le stabilisateur pour smartphone est motorisé par trois moteurs identiques disposés sur les 3 axes. Ils assurent les rotations indépendantes des trois bras dans les différents modes de fonctionnement prévu :

Mode n°1 : **manuel**. L'utilisatrice ou l'utilisateur actionne les moteurs grâce au joystick situé sur le manche.

Mode n°2 : **stabilisation**. L'appareil conserve l'orientation du smartphone quel que soient les mouvements effectués par l'utilisatrice ou l'utilisateur sur le manche.

Mode n°3 : **tracking**. L'appareil conserve l'orientation du smartphone en direction de la cible présélectionnée à l'image sur le smartphone par l'utilisatrice ou l'utilisateur quel que soient les mouvements faits par ce dernier et quel que soient les déplacements faits par la cible (dans une certaine mesure).

Afin de procéder au choix de la motorisation, trois critères sont pris en compte :

**Critère 1 : réversibilité** : lorsque le stabilisateur est hors tension, les bras doivent pouvoir être mis en rotation manuellement par l'utilisatrice ou l'utilisateur afin que l'appareil occupe un espace minimal et puisse être rangé dans sa housse de protection.

**Critère 2 : maintien en position (avec précision)** : lorsque l'appareil est sous tension, le smartphone est maintenu en position par les moteurs des trois bras (c'est à dire qu'on ne peut pas en forçant à la main, changer l'orientation des bras). De plus, du fait de l'application visée, le maintien doit être précis.

**Critère 3 : encombrement ou rapport poids/puissance** : l'encombrement doit être le plus faible possible, le rapport poids/puissance le meilleur possible.

**Q 16.** En vous aidant des informations techniques du dossier **DT11** et **DT12**, compléter le tableau fourni sur le document réponse **DR3**, par une appréciation du type : bon, moyen, mauvais.

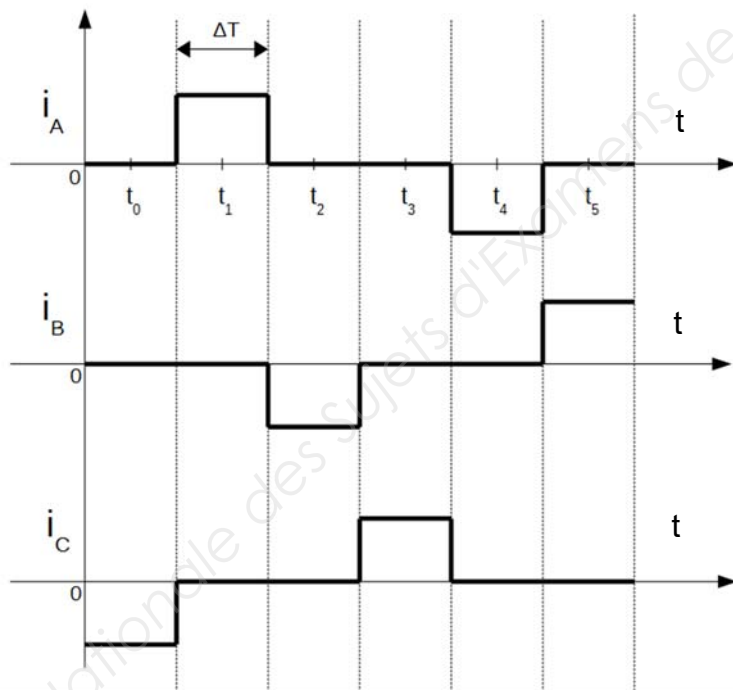
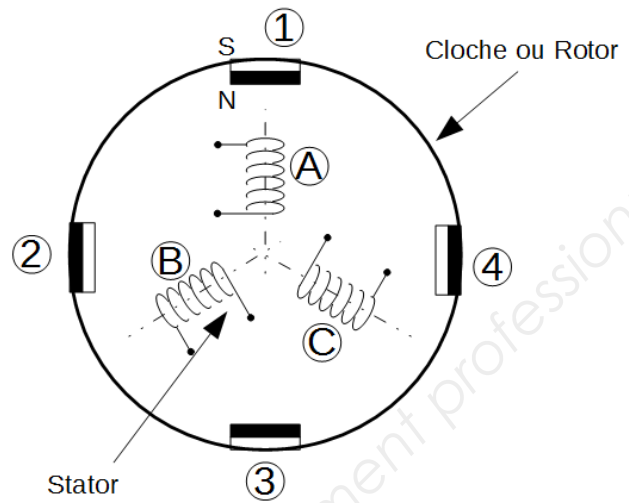
**Q 17.** En déduire le type de motorisation le plus approprié pour le stabilisateur.

BTS CIM – Épreuve E4 : Conception préliminaire d'un système microtechnique			Session 2018
Code de l'épreuve : 18-CDE4CP-ME1	Durée : 4 heures	Coefficient : 2	<b>TD4 / 10</b>

**Problématique de l'activité 6 :** concevoir / étudier les signaux électriques permettant la rotation du moteur (étude dynamique simplifiée du moteur).

La figure de droite présente une version simplifiée du moteur électrique Brushless retenu pour l'appareil.

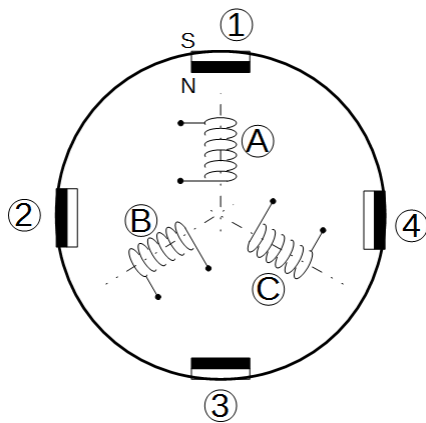
Il est constitué d'une partie fixe, le stator équipé de trois bobines axiales réparties à  $120^\circ$  et d'une partie mobile, la cloche portant quatre aimants à champ axial répartis uniformément dont les orientations (Face Nord ou Face Sud) sont alternées sur la circonférence. La cloche recouvre le stator. Elle est libre en rotation autour d'un axe orthogonal au plan de la figure si bien que les aimants peuvent passer devant les bobines.



Dans la figure de gauche, les chronogrammes représentent les courants instantanés dans chacune des trois bobines. Le passage d'un courant dans une bobine induit la création d'un champ magnétique axial dont l'orientation est fonction du sens du courant. La rotation est obtenue par attractions magnétiques successives entre les aimants de la cloche et les bobines (devenues aimants également quand un courant non nul les parcourt).

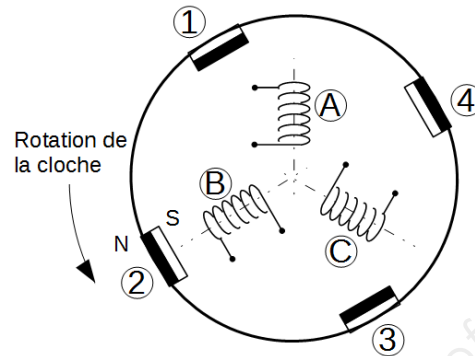


Les deux figures ci-dessous illustrent la rotation de la cloche obtenue entre les instants  $t_1$  et  $t_2$  lorsque les courants des chronogrammes précédents sont appliqués aux trois bobines du stator :



Instant  $t_1$

$I_A$  est positif, la bobine A attire le pôle Nord de l'aimant 1.



Instant  $t_2$

$I_B$  est négatif, la bobine B attire le pôle Sud de l'aimant 2.

L'aimant 2 étant le plus proche de la bobine B entre les instants  $t_1$  et  $t_2$ , il est le seul à subir une attraction magnétique.

Les bobines A et C ne sont pas alimentées à l'instant  $t_2$ , elles n'exercent donc aucune attraction.

- Q 18.** Calculer l'angle de rotation en degré de la cloche entre les instants  $t_1$  et  $t_2$ . Cet angle correspond à ce qu'on appelle un « pas » de rotation. Le moteur tourne par « pas ».
- Q 19.** Quel aimant sera en regard de la bobine C à l'instant  $t_3$  ? Justifier votre réponse.
- Q 20.** Calculer le nombre de pas nécessaires pour que la cloche fasse un tour complet ( $360^\circ$ ) (les chronogrammes précédents se répètent indéfiniment dans le temps).
- Nb : vous pouvez vous aider en découpant la cloche selon les pointillés de **DT3**

Le nombre de pas par tour des moteurs Brushless étudiés peut être calculé par la formule suivante : **Nb pas / tour = n x p** où **n** est le nombre de bobines du stator et **p** le nombre d'aimants du rotor.

- Q 21.** Si le moteur Brushless utilisé pour motoriser les bras du stabilisateur possède 15 bobines et 16 aimants, calculer le nombre de pas par tour du rotor. En déduire la résolution angulaire en  $^\circ$  du moteur (angle d'un pas).
- Q 22.** Si les chronogrammes des courants des bobines B et C (voir figure relative au courants des bobines) sont intervertis, quel est le sens de rotation de la cloche ?
- Q 23.** Faire le choix de la meilleure configuration pour l'appareil entre un moteur Brushless à trois bobines et quatre aimants et un moteur Brushless à quinze bobines et seize aimants. Justifier votre réponse en vous aidant du **DT4**.

BTS CIM – Épreuve E4 : Conception préliminaire d'un système microtechnique		Session 2018	
Code de l'épreuve : 18-CDE4CP-ME1	Durée : 4 heures	Coefficient : 2	<b>TD6 / 10</b>

**Problématique de l'activité 7 :** concevoir l'électronique de puissance pour piloter le moteur Brushless, choisir les composants électroniques de cet étage.

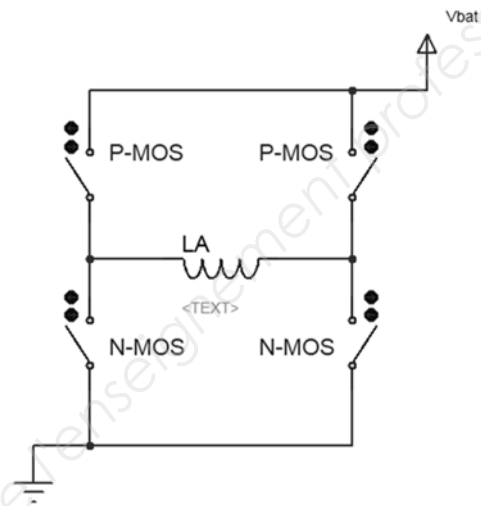
L'aspect dynamique simplifié de la motorisation ayant été vu précédemment, on s'intéresse désormais à l'aspect statique de la motorisation.

Le stabilisateur est alimenté en énergie par une batterie électrique incorporée délivrant une tension continue. L'étude précédente a montré que les courants dans les bobines doivent être inversés ou annulés au cours du temps pour obtenir une rotation.

Pour ce faire, deux schémas électriques de principe pour alimenter chaque bobine du stator sont retenus et présentés dans les figures ci-dessous :



Solution n°1

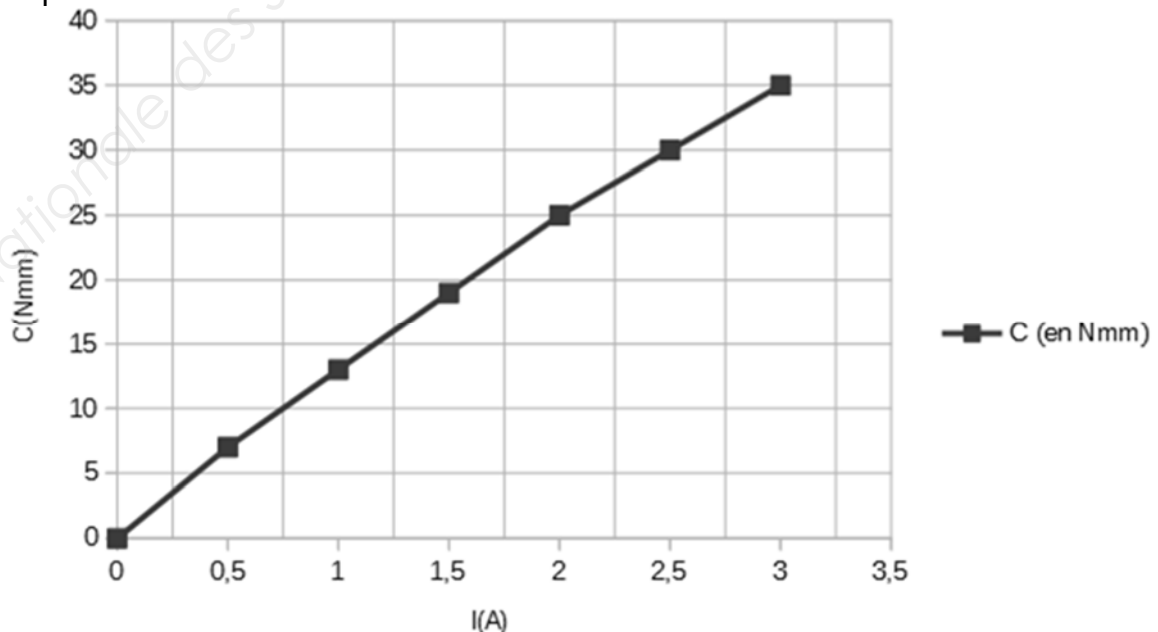


Solution n°2

(diode de roue libre non représentée)

**Q 24.** Procéder au meilleur choix entre les deux solutions ci-dessus. Justifier votre réponse.

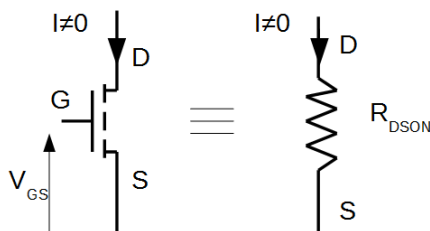
La conception du moteur de l'appareil ainsi que les mesures faites sur celui-ci ont permis d'obtenir la caractéristique du couple mécanique produit en fonction du courant absorbé par le moteur :



**Q 25.** Relever sur cette courbe de mesure, la valeur du courant nécessaire à l'obtention du couple moteur  $C_m$  (en valeur absolue). Quel que soit la valeur obtenue à la question **Q16**, on prendra  $C_m = 16 \text{ Nmm}$ .

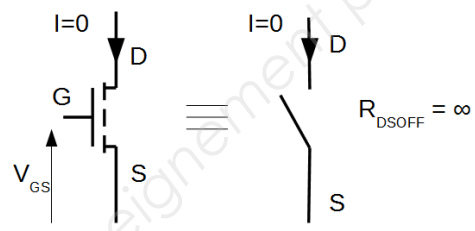
Nb : le maintien en position statique est assuré par l'aimantation entre une bobine du stator et un aimant du rotor. La courbe est valable en dynamique comme en statique. Le moteur peut être stoppé à une certaine position et maintenu sur celle-ci grâce au maintien du courant dans la bobine concernée.

Le document technique **DT13** à **DT18** résume les caractéristiques électriques de six transistors MOS (trois N-MOS et trois P-MOS) présélectionnés pour participer à l'alimentation des bobines du moteur. On rappelle les circuits équivalents d'un transistor MOS dans les deux principaux états « conducteur » et « bloqué » qu'il peut occuper ci-dessous :



Etat conducteur

Le transistor MOS est équivalent à une résistance  $R_{DS(on)}$  de faible valeur ohmique



Etat bloqué

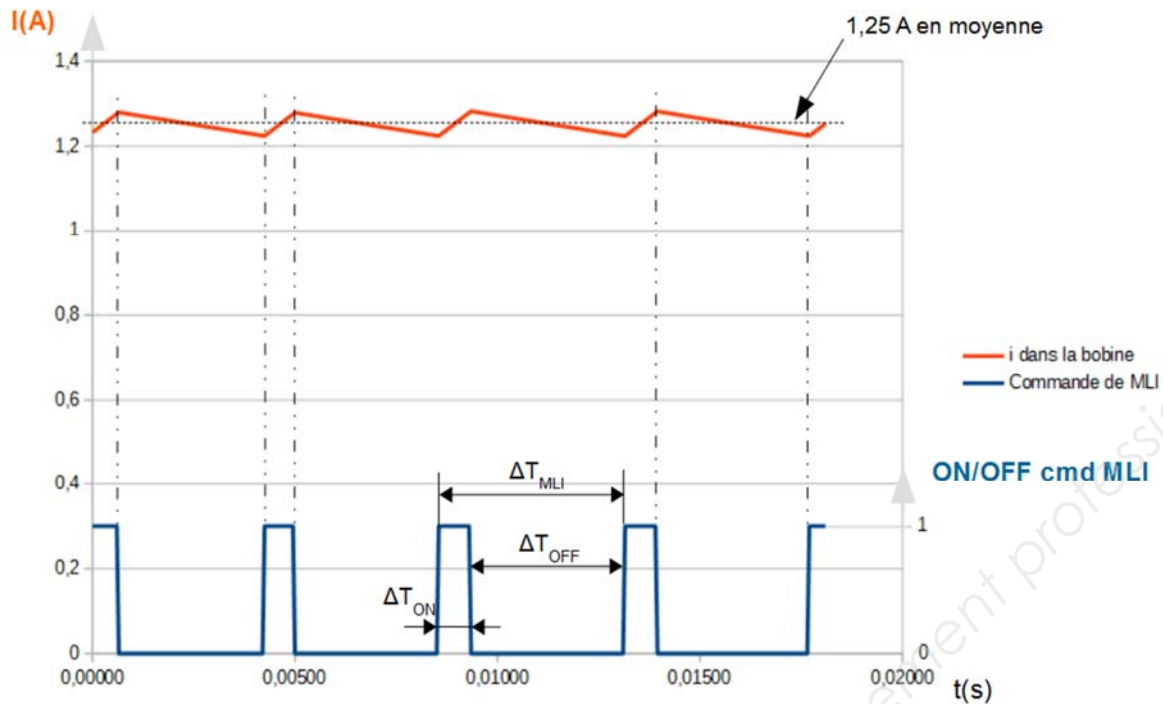
Le transistor MOS est équivalent à un circuit ouvert

**Q 26.** Choisir le meilleur couple de transistors (N-MOS, P-MOS) parmi ceux proposés dans le dossier **DT13** à **DT18** permettant d'alimenter une bobine du moteur de l'appareil. Le critère de choix sera après vérification des courants admissibles, l'optimisation des pertes par effet Joule. A cet effet, on rappelle la puissance perdue sous la forme de chaleur dans les transistors :

$$P_{\text{effet-Joule}} = R_{DS(on)} \cdot I^2$$

Les composants électriques du moteur qui sont alimentés par la batterie pour le fonctionnement sont les bobines du stator. Pour contrôler « précisément » le courant dans celles-ci (et donc contrôler le couple mécanique) on utilise une commande de type MLI ou PWM comme indiqué dans la figure sur la page suivante (TD9/10).

BTS CIM – Épreuve E4 : Conception préliminaire d'un système microtechnique		Session 2018	
Code de l'épreuve : 18-CDE4CP-ME1	Durée : 4 heures	Coefficient : 2	<b>TD8 / 10</b>



Dans la figure, cette commande de MLI (courbe du bas) permet de maintenir un courant de 1,25A (courbe du haut) avec une ondulation de  $\pm 0,05A$  dans la bobine du moteur. À titre indicatif, les caractéristiques de la bobine du moteur sont  $L_{bobine}=0,12H$ ,  $r_{bobine}=1\Omega$ . La tension d'alimentation est celle de la batterie incorporée (voir **DT19**).

On précise que lors des instants  $\Delta T_{ON}$  (commande de MLI à 1) la batterie alimente la bobine via les transistors MOS. A l'inverse, lors des instants  $\Delta T_{OFF}$  (commande de MLI à 0) les transistors MOS isole la batterie et donc celle-ci n'alimente pas la bobine (aucun courant délivré par la batterie).

**Q 27.** Calculer la puissance moyenne délivrée par la batterie durant les instants  $\Delta T_{ON}$ .

**Q 28.** Calculer la puissance moyenne délivrée par la batterie durant les instants  $\Delta T_{OFF}$ .

Une mesure précise de la MLI donne :

$$\Delta T_{ON} = 0,75 \text{ ms}$$

$$\Delta T_{OFF} = 3,55 \text{ ms}$$

**Q 29.** Calculer la puissance moyenne délivrée par la batterie au cours du temps (on fera le calcul sur  $\Delta T_{MLI}$ ). En déduire l'autonomie de la batterie (le moteur est le composant qui consomme le plus d'énergie électrique, on néglige la consommation des autres composants électriques du stabilisateur et on ne prend pas en compte la consommation des deux autres moteurs).

**Problématique de l'activité 8 :** *choisir les composants électroniques de commande manuelle des moteurs. Elaborer le traitement logiciel associé.*

Dans le mode d'utilisation **manuel** de l'appareil, l'interface retenue pour actionner les moteurs des bras 1 et 2 (panoramique et tangage) est un joystick 2 axes incorporé dans le manche de sorte qu'il soit accessible par le pouce de l'utilisatrice ou de l'utilisateur. L'appareil n'est pas muni de commande pour actionner manuellement le moteur du bras 3 (roulis).

Il est prévu de pouvoir exécuter des mouvements dans les deux sens de rotation sur chaque axe et ce à deux vitesses, une lente  $\Omega_1=10^\circ/s$ , une rapide  $\Omega_2=120^\circ/s$ .

BTS CIM – Épreuve E4 : Conception préliminaire d'un système microtechnique		Session 2018	
Code de l'épreuve : 18-CDE4CP-ME1	Durée : 4 heures	Coefficient : 2	<b>TD9 / 10</b>

La sélection de la vitesse de rotation est faite par le déplacement plus ou moins important du bouton du joystick.

**Q 30.** À l'aide des documentations constructeurs **DT19** et **DT20** faire le choix du joystick parmi les deux composants retenus. Justifier votre réponse.

**Q 31.** Faire le schéma électrique du joystick choisi dans le document réponse **DR3**.

Le joystick est alimenté sous 5V. Il produit deux tensions proportionnelles au déplacement comprises entre 0V (position toute à gauche du bouton ou sur l'autre axe tout en bas) et 5V (position toute à droite du bouton ou sur l'autre axe tout en haut). La vitesse lente est déclenchée à partir d'une course de 2 mm du bouton par rapport à sa position de repos et la vitesse rapide à partir d'une course de 4 mm.

Le composant qui traite ces informations est le microcontrôleur PIC 16F15356 embarqué dans le stabilisateur dont le résumé des spécifications est fourni dans le dossier **DT21** et **DT22**. Celles-ci indiquent qu'un périphérique interne de type ADC (Analog to Digital Converter) est disponible. On souhaite l'utiliser.

**Q 32.** Le joystick est raccordé électriquement à l'ADC du  $\mu\text{C}$ . Donner les 4 valeurs en décimal obtenues en sortie de l'ADC qui correspondent aux seuils de sélection des vitesses de rotations -  $\Omega_2$ , -  $\Omega_1$ , + $\Omega_1$  et + $\Omega_2$ . On donnera les réponses dans le tableau du **DR4**. La documentation technique de l'ADC est fournie dans le **DT23**.

Pour que l'appareil soit utilisable conformément aux spécifications prévues (notamment les différents modes, *manuel*, *stabilisation* et *tracking*), le microcontrôleur PIC 16F15356 est programmé pour exécuter un logiciel spécifique et adéquat. Celui-ci est découpé en plusieurs sous-programmes. L'un d'entre eux a en charge :

- la lecture des conversions analogiques-numériques reflétant les positions du bouton du joystick sur son axe horizontal
- la mise à jour de la variable  $VM\_axe\Delta 1$  (vitesse du moteur de l'axe  $\Delta 1$ )

La variable  $VM\_axe\Delta 1$  est la variable de sortie du sous-programme. Elle est aussi la variable d'entrée d'un autre sous-programme (occulté ici) chargé de synthétiser la MLI (ou PWM) de commande de l'étage de puissance du moteur d'axe  $\Delta 1$ .

La variable  $VM\_axe\Delta 1$  peut prendre 5 valeurs qui sont les vitesses de rotations suivantes:

- +120 ( $^\circ/\text{s}$ ) (+ $\Omega_2$ )
- +10 ( $^\circ/\text{s}$ ) (+ $\Omega_1$ )
- 0 (vitesse nulle)
- -10 ( $^\circ/\text{s}$ ) (- $\Omega_1$ )
- -120 ( $^\circ/\text{s}$ ) (- $\Omega_2$ )

Ces valeurs dépendent de la position du bouton du joystick sur son axe horizontal comme vu plus haut.

**Q 33.** Compléter dans le document réponse **DR5** le sous-programme sous forme d'algorithme, qui donne sa valeur à la variable  $VM\_axe\Delta 1$  en fonction de la variable  $ADC\_resultat$  (résultat de la conversion analogique numérique faite par l'ADC interne au  $\mu\text{C}$ ).

BTS CIM – Épreuve E4 : Conception préliminaire d'un système microtechnique			Session 2018
Code de l'épreuve : 18-CDE4CP-ME1	Durée : 4 heures	Coefficient : 2	<b>TD10 / 10</b>

# SESSION 2018

BREVET DE TECHNICIEN SUPÉRIEUR

## CONCEPTION ET INDUSTRIALISATION EN MICROTECHNIQUES

ÉPREUVE E4

### CONCEPTION PRÉLIMINAIRE D'UN SYSTÈME MICROTECHNIQUE

### STABILISATEUR POUR SMARTPHONE

#### DOCUMENTS REPONSES À AGRAFER DANS LA FEUILLE DE COPIE

Ce dossier comporte 5 pages repérées DR1 à DR5.

**DR1 :** *activité 1 : vérifier la compatibilité du cahier des charges par rapport aux smartphones en usage actuellement.  
activité 2 : choisir un système de maintien en position du smartphone.*

**DR2 :** *activité 2 : choisir un système de maintien en position du smartphone.*

**DR3 :** *activité 5 : recherche d'une solution de motorisation.  
activité 8 : schéma électrique du joystick.*

**DR4 :** *activité 8 : seuils de sélection des vitesses de rotation.*

**DR5 :** *activité 8 : algorithme de traitement des informations joystick.*

BTS CIM – Épreuve E4 : Conception préliminaire d'un système microtechnique			Session 2018
Code de l'épreuve : 18-CDE4CP-ME1	Durée : 4 heures	Coefficient : 2	<b>DR0 / 5</b>

## Document réponse DR1

**Activité 1 : vérifier la compatibilité du cahier des charges au regard des smartphones en usage actuellement.**

Réponse à la question Q1. Indiquer les différentes caractéristiques des smartphones sur le tableau ci dessous. Voir DT6.

Smartphone	L (mm)	l (mm)	e (mm)	m (g)
Sony xperia xz premium				
Apple Iphone 6S				
Lg V10				
HTC U ultra				
Samsung Galaxy note 5				
Apple iPhone 5S				

**Activité 2 : choisir un système de maintien en position du smartphone**

Réponse aux questions Q3 à Q6.

Bilan des actions mécaniques extérieures :

Tracer les supports de ces actions sur le smartphone isolé (on se placera à la limite de l'adhérence) sur DR2.

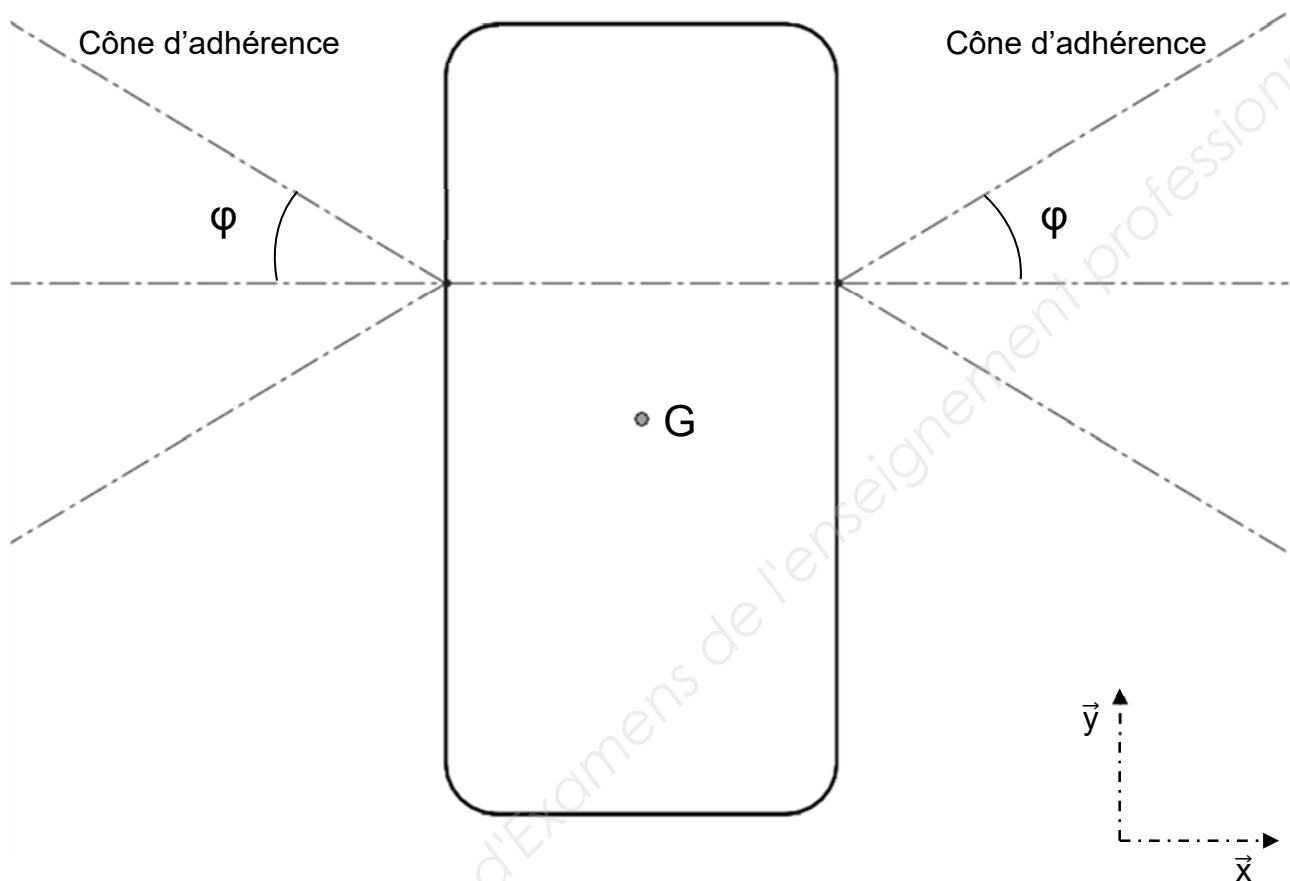
Calculer P le poids du smartphone :

P =

Document réponse DR2

Echelle : 1 N  $\leftrightarrow$  3 cm

$f = \tan \varphi = 0.6$



Déterminer graphiquement  $\vec{F}_{pd \rightarrow s}$  et  $\vec{F}_{pg \rightarrow s}$  :

$$F_{pd \rightarrow s} =$$

$$F_{pg \rightarrow s} =$$

Déterminer  $F_s$  la projection de  $\vec{F}_{pd \rightarrow s}$  sur  $\vec{x}$  :

$$F_s = \vec{F}_{pd \rightarrow s} \cdot \vec{x} =$$

BTS CIM – Épreuve E4 : Conception préliminaire d'un système microtechnique		Session 2018	
Code de l'épreuve : 18-CDE4CP-ME1	Durée : 4 heures	Coefficient : 2	<b>DR2 / 5</b>



## Document réponse DR3

### Activité 5 : recherche d'une solution de motorisation

Réponse à la question Q16. En vous aidant des informations techniques du dossier DT11 et DT12, compléter le tableau ci-dessous, par une appréciation du type : Bon, Moyen, Mauvais.

Motorisation	Critère n°1 Réversibilité	Critère n°2 Maintien en position (avec précision)	Critère n°3 Encombrement ou rapport poids/puissance
MCC en prise directe			
BLDC inrunner			
MCC + réducteur			
MCC + réducteur + Limiteur de couple			
BLDC outrunner en prise directe			
MPP			

MCC : Moteur à courant continu

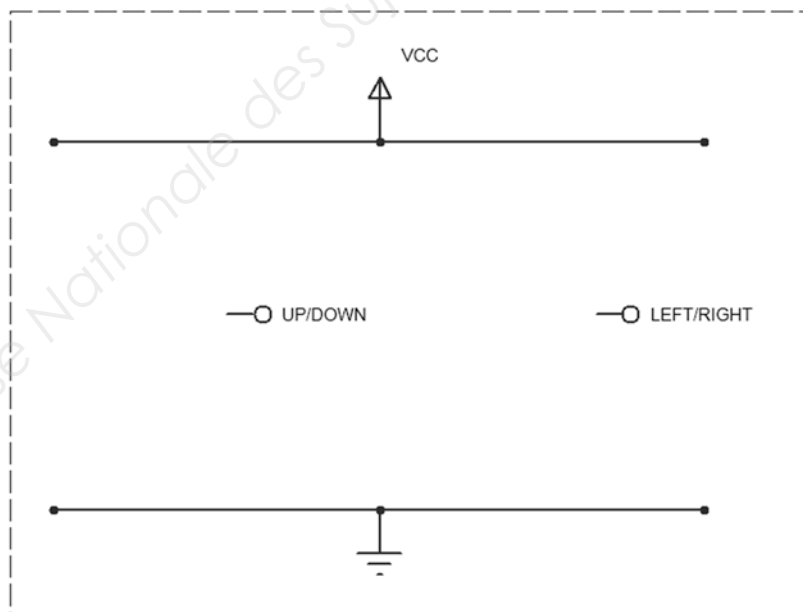
MPP : Moteur Pas à Pas

BLDC : Brushless Direct Current Motor (Moteur sans balai)

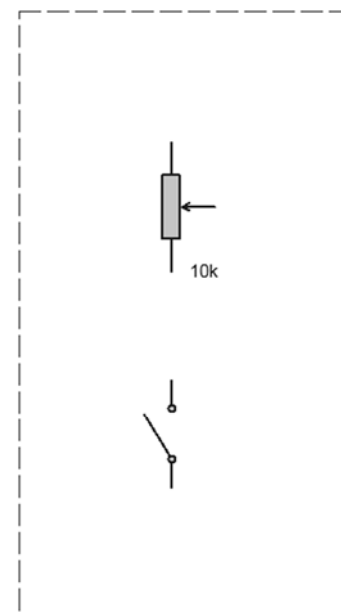
### Activité 8 : schéma électrique du joystick

Réponse à la question Q31. Faire le schéma électrique du joystick choisi.

PARTIE À COMPLÉTER



LIBRAIRIE À DISPOSITION



### Document réponse DR4

#### Activité 8 : seuils de sélection des vitesses de rotation

Réponse à la question Q32. Calculer la valeur numérique produite (en décimal) par le convertisseur ADC pour chaque position du bouton du joystick.

Vitesse de rotation	Déplacement du bouton du joystick	Tension électrique produite par le joystick	Valeur produite par l'ADC en décimal
	-5 mm	0V	0
- $\Omega 2$	-4 mm		
- $\Omega 1$	-2 mm		
+ $\Omega 1$	+2 mm		
+ $\Omega 2$	+4 mm		
	+5 mm	5V	1023

## Document réponse DR5

### Activité 8 : algorithme de traitement des informations joystick

Réponse à la question Q33. Compléter le sous-programme sous forme d'algorithme, qui donne sa valeur à la variable `VM_axeΔ1` en fonction de la variable `ADC_resultat` (résultat de la conversion analogique numérique faite par l'ADC interne au  $\mu\text{C}$ ).

